# CONTRIBUIÇÃO AO ESTUDO DA ESTRUTURA DO PAU D'ALHO

(PIRACICABA, S. P.)

DO

PAU D'ALHO (PIRACICABA, S.P.)

PAULO ROBERTO MOURA CASTRO
Geólogo pela U.S.P. Professor
Assistente do Departamento de
Engenharia de Transportes da
Faculdade de Engenharia de
Limeira, UNICAMP.

Tese apresentada à Faculdade de Engenharia de Limeira, UNICAMP, para a obtenção do título de Doutor em Ciências.

000018

Orientador: Prof. Dr. Paulo Milton Barbosa Landim.

- 1973 -

UNICAMP
Faculdade de Engenharia de LimenBIBLIOTECA

C279C

8746 BAE FEL/8996. Bit id 345620

> WADAU with the control of Limits RIGHTOLET A

### DEDICO:

Aos meus pais À minha esposa Aos meus filhos

# INDICE GERAL

		pag	7.	
INTRODUÇÃO I				
2.	TRABAL	OS ANTERIORES	1	
3.	GEOMOR	OLOGIA	4	
4.	GEOLOG	A GERAL	9	
	4.1 -	OTOINTERPRETAÇÃO	9	
		.1.1. TIPO DE COBERTURA FOTOGRÁFICA	9	
		.1.2. FOTOINTERPRETAÇÃO E VERIFICAÇÃO DE CAMPO	. 9	
		.1.3. CRITÉRIOS FOTOINTERPRETATIVOS	10	
	4.2 -	STRATIGRAFIA	13	
		.2.1. FORMAÇÃO ITARARÉ (GRUPO TUBARÃO)	13	
		.2.2. FORMAÇÃO TATUI (GRUPO TUBARÃO)	14	
		.2.3. FORMAÇÃO IRATI (GRUPO PASSA DOIS)	14	
		.2.4. FORMAÇÃO ESTRADA NOVA (GRUPO PASSA DOIS)	15	
		.2.5. FORMAÇÃO PIRAMBÖIA (GRUPO SÃO BENTO)	16	
		.2.6. FORMAÇÃO BOTUCATU (GRUPO SÃO BENTO)	17	
		.2.7. FORMAÇÃO SERRA GERAL (GRUPO SÃO BENTO)	18	
		.2.8. INTRUSIVAS BÁSICAS	19	
		.2.9. FORMAÇÃO BAURU	19	
5.	GEOLOG	A ESTRUTURAL	21	
	5.1 -	ERFIS GEOLÓGICOS	21	
		.1.1. METODOLOGIA	21	
		.1.2. RESULTADOS	23	
	5.2 -	EVANTAMENTO ESTATÍSTICO DE FRATURAS	34	
		.2.1. INTRODUÇÃO	34	
		.2.2. METODOLOGIA	41	

		pag
5.2.2.1.	MÉTODO	DA DUPLICAÇÃO DOS AZIMUTES 4
5.2.2.2.	MÉTODO	DA RESULTANTE ÚNICA 4
5.2.2.3.	MÉTODO	DAS RESULTANTES PARCIAIS 4
5.2.2.4.	MÉTODO	DA ANÁLISE DE TENDÊNCIA VE-
	TORIAL	5
GÊNESE DA ESTRUTURA .		7
CONSIDERAÇÕES FINAIS		

6.

7.

BIBLIOGRAFIA

# ÍNDICE DE ILUSTRAÇÕES

Figura		Pāgina
1	Localização da área mapeada	II
2	Perfil geológico A-B (Anhembi-Piracicaba)	24
3	Perfil geológico C-D (Capela Santa Cruz - Chā	25
	cara Três Marias)	
4	Perfil geológico E-F (Serra de São Pedro- Pau	26
	D'Alho)	
5	Perfil geológico G-H (Pederneiras - Jardim	27
	São Jorge)	
6	Cálculo da resultante de uma distribuição se	38
	mi-circular de fraturas	
7	Localização das fraturas na área da Estrutura	42
	do Pau D'Alho	
8	Grade de celas unitárias para o estudo de fra	43
	turas.	
9	Mapa dos azimutes médios. Método dos azimutes	46
	duplicados	
10	Mapa dos azimutes médios. Método da resultan	48
	te única.	
11	Obtenção de $\theta_m$ pelo método das resultantes	50
	parciais	
12	Variação da dispersão no cálculo do azimute	51
	médio. Método das resultantes parciais.	
13	Mapa dos azimutes médios. Método das resulta <u>n</u>	52
	tes parciais	

14	Traçado de uma reta pelo metodo dos minimos	57
	quadrados	
15	Traçado de um plano pelo metodo dos minimos	57
	quadrados	
16	Gráfico de tendência de 19,29 e 39 graus pa	59
	ra retas, superficies e hipersuperficies	
17	Mapa dos azimutes médios. Método da análise	61
	de tendência	
18a	Mapa de tendência dos azimutes direcionais	64
	médios em cada cela por linhas e colunas	
185	Mapa dos vetores dos azimutes direcionais	64
	médios em cada cela por linhas e colunas	
18c	Mapa residual dos azimutes direcionais mé-	65
	dios de cada cela menos o azimute médio to	
	tal	
19a	Mapa de tendência linear dos azimutes dir <u>e</u>	65
	cionais	
195	Mapa dos vetores dos azimutes direcionais.	66
	Superficie de tendência linear	
19c	Mapa residual dos azimutes direcionais.	66
	Superficie de tendência linear	
20a	Mapa de tendência quadrática dos azimutes	67
	direcionais	
20b	Mapa dos vetores dos azimutes direcionais	67
	Superficie de tendência quadrática	
20c	Mapa residual dos azimutes direcionais	68
	Superficie de tendência quadrática	
21a	Mapa de tendência cúbica dos azimutes dir <u>e</u>	68
	aionais	

14	Traçado de uma reta pelo metodo dos minimos	57
	quadrados	
15	Traçado de um plano pelo metodo dos minimos	57
	quadrados	
16	Gráfico de tendência de 19,29 e 39 graus pa	59
	ra retas, superficies e hipersuperficies	
17	Mapa dos azimutes médios. Método da análise	61
	de tendência	
18a	Mapa de tendência dos azimutes direcionais	64
	médios em cada cela por linhas e colunas	
185	Mapa dos vetores dos azimutes direcionais	64
	médios em cada cela por linhas e colunas	
18c	Mapa residual dos azimutes direcionais mé-	65
	dios de cada cela menos o azimute médio to	
	tal	
19a	Mapa de tendência linear dos azimutes dir <u>e</u>	65
	cionais	
19b	Mapa dos vetores dos azimutes direcionais.	66
	Superficie de tendência linear	
19c	Mapa residual dos azimutes direcionais.	66
	Superficie de tendência linear	
20a	Mapa de tendência quadrática dos azimutes	67
	direcionais	
201	Mapa dos vetores dos azimutes direcionais	67
	Superficie de tendência quadrática	
20c	Mapa residual dos azimutes direcionais	68
	Superficie de tendência quadrática	
21a	Mapa de tendência cúbica dos azimutes dir <u>e</u>	68
	cionais	

216	Mapa dos vetores dos azimutes direcionais	69
	Superficie de tendência cúbica	
21c	Mapa residual dos azimutes direcionais.	69
	Superficie de tendência cúbica	
22a	Mapa de tendência quártica dos azimutes	70
	direcionais	
225	Mapa dos vetores dos azimutes direcionais	70
	Superficie de tendência quártica	
22c	Mapa residual dos azimutes direcionais	71
	Superficie de tendência quártica	
23a	Mapa de tendência quintica dos azimutes	71
	direcionais	
235	Mapa dos vetores dos azimutes direcionais	72
	Superficie de tendência quintica	
230	Mapa residual dos azimutes direcionais	72
	Superficie de tendência quintica	
24	Efeito das estruturas positivas e negati-	74
	vas sobre o padrão regional de fraturas	
25	Tendência do azimute médio sobre estrutu-	74
	ras simuladas	

# INDICE DE FOTOS

Foto		pāgina
1	Vista aérea parcial da área da Estrutura	24
	do Pau D'Alho	
2	Morro do Corcovado, constituido por um d <u>i</u>	30
	que de diabasio	
3	Vista oeste da Serra do Pau D'Alho	30
4	Afloramento da Formação Estrada Nova me-	31
	tamorfizado por contato com o diabásio	
	do Morro do Corcovado. Km 54,5 do perfil	
	A-B, fig. 2.	
5	Detalhe do afloramento anterior	31
6	Afloramento da Formação Pirambóia, notan-	33
	do-se estratificação cruzada e marcas de	
	onda	
7	Formação Pirambóia, salientando-se um dias	33
	tema. Km 20,5 do perfil C-D, fig. 3	
8	Vista geral do afloramento de uma brecha	35
	Km 81,5 do perfil A-B, fig. 2	
9	Detalhe da brecha acima descrita	35
10	Vista leste das estruturas da área do Pau	77
	D'Alho	
11	Vista geral este da Estrutura do Pau D'Alho,	7.9
	salientando-se os basculamentos e o capea -	
	mento de diabásio sobre a Formação Pirambóia.	

#### INTRODUÇÃO

Desde Washburne (1930), a chamada Estrutura do Pau D'Alho vem sendo estudada por diversos autores devido a possibilidade da sua ocorrência estar ligada a armadilhas (trapps) que interessariam à pesquisa do petróleo. Durante esses anos todos, porém, dúvidas existiram e existem quanto a sua classificação e origem.

Tendo isso em mente, ao realizarmos essa pesquisa, nosso objetivo primordial foi, com o auxilio da interpretação geológica e da geotectônica, conhecer os mecanismos responsáveis pela formação da Estrutura do Pau D'Alho, o tipo de estrutura presente e as relações provavelmente existentes entre ela e outras estruturas semelhantes ocorrentes no Estado de São Paulo.

A região estudada situa-se na porção centro-leste do Estado de São Paulo, limitada pelos paralelos 22º30'00" e 22º55'00" Sul e meridianos 47º35'00" e 48º00'00" oeste, ocupando uma área aproximada de 2.000 Km². (fig. 1)

Foram realizados perfis geológicos, dispostos estrategicamente em relação à Estrutura, que foi evidenciada e mapeada através o levantamento fotogeológico com subsequente controle de campo e que mostram a estratigrafia e as pertubações tectônicas que ocorrem na área.

Simultaneamente, foi efetuado um levantamento de fraturas observáveis nas fotografias aéreas com o objetivo de, aplicando-se métodos de análise estatistica, verificar os resultados obtidos diretamente no campo por meio dos perfis



LOCALIZAÇÃO DA ÁREA MAPEADA

FIG. 1

geológicos. Além disso, procuramos constatar as interações entre a estrutura propriamente dita e as rochas circunvizinhas, pelo estudo das modificações ocorridas nos padrões normais de fraturamento que ocorrem na crosta terrestre em regiões cobertas por rochas sedimentares. Entre os métodos utilizados os melhores resultados foram os apresentados pela análise de tendência vetorial. Essa análise, sendo basicamente um processo através o qual podemos detectar anomalias dentro de uma tendência espacial de comportamento normal de um elemento geológico qual quer, de natureza direcional, revelou-se de suma importância para nossos propósitos.

Os resultados apresentados revelaram ser a área um alto estrutural, devido a maneira de distribuição anômala das fraturas, resultante das perturbações presentes, tendo sido também comprovado pelos perfis geológicos realizados.

Ligados que somos a um centro de Engenharia, consideramos que uma das finalidades principais desse trabalho é apontar possibilidades de aplicação de um método de análise geotectônica, isto é, o da análise de tendência vetorial das direções de fraturas, que permita um melhor conhecimento das condições tectônicas de uma área para a implantação segura de obras de engenharia de grande porte.

#### AGRADECIMENTOS

Desejamos expressar aqui nossa imensa gratidão às seguintes pessoas :

- Prof. Dr. Paulo Milton Barbosa Landim, Chefe

do Departamento de Geologia e Mineralogia da Faculdade de Filosofia, Ciências e Letras de Rio Claro, pela dedicação com
que nos orientou, especialmente no que se refere às criticas e
sugestões, sempre corretas. Particularmente agradecemos pelo
incentivo e pela amizade com que sempre nos distinguiu.

- Prof. Dr. Paulo Cesar Soares, pelo auxilio prestado no decorrer de todo o trabalho e também nas viagens campo.
- Prof. Dr. Vicente José Fulfaro, pela orienta cão sempre segura, que muito nos ajudou na elaboração desse trabalho.
- À Universidade Estadual de Campinas, especia<u>l</u>
  mente ao Dr. Pedro Moraes Siqueira, Diretor da Faculdade de E<u>n</u>
  genharia de Limeira e ao Sr. Mauro Fernandes, Secretário desta
  Faculdade, pelo apoio e auxílio prestados.
- À Fundação de Amparo à Pesquisa do Estado de São Paulo pelo auxilio material que tornou possível a execução dessa pesquisa.
- Sr. José Roberto Caon, pela colaboração na exemplação dos dados.
- Sra. Isabel Cristina Delle Vedove, pela dati Lografia, Sr. Luis Angelo Alberto, pelos desenhos e acompanha acto ao campo, particularmente pelo zelo e cuidado com que e-
- Finalmente, a todos aqueles que direta ou in-

tro do anticlinal, evidenciada por um leve metamorfismo de contato do folhelho Estrada Nova no lado oeste do anticlinal.

Washburne (1930) conclui que aquela estrutura foi formada em pelo menos dois periodos de crescimento, devido as relações entre as formações ai existentes. Segundo ele "a ceste do anticlinal ocorre o derrame inferior de diabásio que descansa diretamente sobre a parte superior da formação de Comumbatai, mergulhando para sudoeste sob um ângulo de cerca de 15 graus. Indo-se deste ponto para sudeste, observa-se uma espessura mais e mais possante de arenito de Botucatu por baixo do diabásio, sendo este claramente do tipo extrusivo. É eviden te que o cume do anticlinal tinha sido erodido até o folhelho de Corumbatai antes que se desse o primeiro derrame de diabásio".

"O periodo principal do seu levantamento, entre tento, foi depois do último derrame de diabásio, que também está inclinado, no flanco sul do anticlinal". Não tendo solucionado completamente a questão, o autor recomendou estudos de tendo solucionado completamente a questão, o autor recomendou estudos de tendo solucionado completamente a questão, o autor recomendou estudos de tendo solucionado completamente a questão, o autor recomendou estudos de tendo solucionado.

São ainda feitas referências ao chamado anticli do Serrote, incluido dentro de nossa área de estudo, e que servebe hoje a denominação de Morro do Capitão.

Moraes Rego (1945) também estudou a região, tembem estudou a região para estudou estudou estadou es

de que em São Paulo há diques eruptivos cortando camadas pouco perturbadas. Entretanto, localmente, é possível o dobramen to estar mais estreitamente relacionado com a erupção.

Seguindo a sugestão de Washburne, Moraes Rego executou na área do Pau D'Alho um levantamento magnetométrico, o qual revelou para a referida área variações magnetométricas bruscas, numa alternância de máximos e mínimos, que indicariam a existência de eruptivas em profundidade.

Almeida e Barbosa (1953) descrevendo a Tectônica das quadrículas de Piracicaba e Rio Claro também fazem referências à Estrutura do Pau D'Alho, concordando com Washburne, de que uma primeira fase de soerguimento teria precedido os derrames que provavelmente seriam contemporâneos da grande intrusão.

#### 3. GEOMORFOLOGIA

A área em estudo situa-se no interflúvio Piracicaba - Tietê dentro da provincia geomorfológica denominada Depressão Periférica, que compreende áreas sedimentares de idade neopaleozóica rebaixadas pela erosão e delimitada a leste pelo Planalto Atlântico e a ceste pela Cuesta Basáltica. As altitudes médias situam-se entre 500 e 600 metros, sendo que apenas em determinados locais como na presente estrutura encontram-se altitudes maiores, atingindo cerca de 700 metros.

Deffontaines (1935) dividiu a Depressão Perif<u>é</u>
rica em três partes, sendo que a Estrutura do Pau D'Alho situa-se na zona do médio Tietê.

De um modo geral, a topografia da zona é pouco zcidentada. Há predominância de colinas baixas, suaves, separa das por vales jovens, sem planicies aluviais importantes, determinadas pela interseção dos perfis convexos das vertentes.

As camadas mergulham para noroeste, sendo que es litologias mais resistentes mostram-se salientes na topografia, constituindo cuestas.

É certo que perturbações locais das camadas influem, às vezes, na preservação das maiores elevações nas áreas interfluviais.

O caráter assimétrico do relevo e das cuestas pode ser explicado na área da Estrutura do Pau D'Alho pelas intrusivas básicas associadas a falhamentos e subsequente ero diferencial.

Os principais rios que drenam a área são o Tie

e o Piracicaba. O rio Tietê, que nasce no Planalto Atlânti
o penetra na Depressão Periférica na cachoeira de Salto, ao
morte de Itu. Sua direção é NW, na direção do mergulho das ca
madas sedimentares, classificando-se geneticamente como um rio
consequente. Próximo a Cuesta Basáltica recebe o rio Piracica
como afluente da margem direita.

Já esse rio oferece aspectos mais variados em curso que os apresentados pelo rio Tietê ao atravessar a pressão Periférica. Nascendo também no Planalto Atlântico cor para noroeste, sendo portanto consequente. Na cidade de Piecaba tem o rio o seu principal acidente, o salto de Piraci devido a um sill de diabásio.

A montante deste salto o vale é estreito, apre tando nas margens escarpas de solapamento onde afloram rodo do Grupo Tubarão. Entre o salto de Piracicaba e Artemis o apresenta nitidos meandros encaixados nos sedimentos da Estrada Nova e ampla sedimentação neocenozóica.

Após receber as águas do Rio Araguai, o Piraci

corre sobre sedimentos arenosos da Formação Pirambóia, que

completamente os aspectos de seu curso.

Quanto aos aspectos geomorfológicos específicos

Lativos a área do Pau D'Alho, Paula (1972) a divide em uma

Lativos de compartimentos, baseando-se fundamentalmente no cará

Lativita de compartimentos de cará

#### 1 - Superficie de Cimeira

Tal superficie entre 750 e 800 m, destaca-se no interflúvio Piracicaba - Tietê, sendo representada pelo topo in morros Monte Branco, Pau D'Alho, São Joaquim, Floresta e sortaleza, além de alguns morros isolados como o Ibicatu, Man-incaru e outros. Essa superficie é mantida por sills e diques diabásio que capeiam rochas mais antigas.

Os processos erosivos ao constituirem esta supricie, foram condicionados pela estrutura pré-existente re
resentada pelos blocos adernados por movimentação anterior.

#### 2 - Superficie de 600 - 700 metros

Trata-se de pequenos interflúvios no reverso aado das cuestas mantidas por sills de diabásio intrometi
na Formação Estrada Nova, na área central da Estrutura, com
auos de antigos sedimentos que foram reintalhados por nofases erosivas e que se acham atualmente reduzidos a peque
patamares articulados à base das escarpas que delimitam a
da superfície de cimeira. São portanto níveis descontírestritos a periferia dos relevos de cimeira, aparecendo
na área central da Estrutura.

Na parte externa da Estrutura esses interflúcortam o diabásio e o arenito Pirambóia e se inclinam sua
este em direção à drenagem regional, apresentando uma disradial.

# 3 - Superficie Interplanaltica de 550 - 600 metros.

Corresponde aos baixos interflúvios aplainados, de topo suavemente convexo e divisores principais da drenagem integrante da bacia do Tietê e Piracicaba. Acham-se cerca de 50 - 60 metros sobre os vales atuais. Pela forma suavemente in clinada e pela articulação em ângulo bem marcado com os patamares, indicam tratar-se de formas de sedimentação. Não há depositos detríticos correspondentes a esta fase de aplainamento, a não ser colúvios esparsos em delgadas camadas, de transporte recente.

# 4 - Patamares Intermediários

Constituem prolongamento da superficie mais general, após ruptura da vertente, nem sempre bem marcada ao longo en encosta, devido a homogeneidade da rocha e da coluviação resente que mascara as quebras de gradiente de declive. Estão esta de 15 metros acima dos vales.

# 5 - Baixos Terraços

Estão a 3 ou 4 metros acima das várzeas e são expeados por seixos, continuando em rampa ascendente até se eticular aos patamares intermediários.

Tais terraços, nos rios que correm para o Pira estão esculpidos no Pirambóia e na drenagem que dema<u>n</u>

ia o Tiete, estão entalhados na Formação Estrada Nova.

# 6 - Nivel de Varzeas

Trata-se do nivel atual. As várzeas são bastante exiguas porque os vales apresentam-se encaixados tanto na trea central como na periferia do Pau D'Alho, indicando que as estruturas existentes na área sofreram reativações até a époea atual.

#### 4. GEOLOGIA GERAL

Para o conhecimento geológico da área foi feito estudo fotointerpretativo com controle de campo.

Quando o trabalho estava quase concluido toma
sos conhecimento do mapa geológico regional executado por An
drade e Soares (1971) para a Petrobrás. Desta maneira nos uti
lizamos deste mapa e introduzimos as modificações que julgamos

secessárias após nossos trabalhos de campo. (Anexo)

# 4.1 - FOTOINTERPRETAÇÃO

### 4.1.1 - TIPO DE COBERTURA FOTOGRÁFICA

A área mapeada foi coberta por fotografias aézeas na escala 1:60.000, confeccionadas pela USAF, em 1965.

As fotos são em emulsão pancromática, no forma
23 x 23 cm tendo sido adquiridas do Serviço Geográfico do

Exército.

# 4.1.2 - FOTOINTERPRETAÇÃO E VERIFICAÇÃO DE CAM-PO

Foi realizada da seguinte maneira :

a) Inicialmente tomou-se contato com a área através da bibliografia e da ida ao campo pa
ra coleta de dados preliminares;

# FORMAÇÃO TATUI :

Nesta unidade litológica destaca-se como principal critério fotointerpretativo o seu relevo cuestiforme e sua cor cinza-claro.

#### FORMAÇÃO IRATI :

Apresenta cor cinza-médio a escuro, tendo como contato com a Formação Tatui uma nitida quebra negativa.

### FORMAÇÃO ESTRADA NOVA :

Apresenta uma coloração cinza-escuro devido a seu caráter argiloso. As quebras negativas que correspondem cos contatos subjacente e sobrejacente são muitas vezes pouco distintas, necessitando-se de controle de campo.

# FORMAÇÃO PIRAMBOIA :

Mostra na fotografia aérea características semelhantes a Formação Itararé, porém com extensas chapadas are
mesas também cobertas por vegetação do tipo cerrado. Constituem
metalente critério fotointerpretativo suas formas de relevo,
mesultantes da erosão diferencial, que mostram na fotografia
mesa uma série de pequenos degraus, separados por quebras nemetivas, ao longo das quais se observam zonas de tonalidade
mesa-escura, devido a concentração de umidade.

#### 4.2 - ESTRATIGRAFIA

O mapa geológico em anexo contém as unidades es tratigráficas que serão descritas a seguir em suas principais características litológicas, estratigráficas e estruturais:

### 4.2.1 - FORMAÇÃO ITARARÉ (GRUPO TUBARÃO)

Essa unidade assenta-se sobre superficie de não conformidade, topograficamente irregular, onde ocorrem conglorados basais.

É caracterizada por grande diversidade de lito Icgia, onde predominam os clásticos grosseiros. Ocorre nas par sudeste e norte da área estudada.

A litologia dessa formação consta de conglomera

e arenitos conglomeráticos basais, sucedidos por espesso

cote de siltitos, ritmitos e folhelhos várvicos. São comuns

cas de corrente, marcas onduladas e laminação cruzada.

Acima temos arenitos de granulação variada apre

Sobrejacente aos arenitos predominam siltitos,

políticos, folhelhos e ritmitos, ocorrendo ainda corpos de dia

políticos de cor cinza escuro. O topo dessa formação é caracte

políticos de pela presença de diamictitos.

A espessura máxima admitida para esta formação = 1.200 metros, de acordo com perfurações da Petrobrás.

#### 4.2.2 - FORMAÇÃO TATUI (GRUPO TUBARÃO)

É formada por siltitos laminados de cor arroxea da e verde, com intercalações de camadas de marga e calcário, tornando-se às vezes predominantemente arenosos, com finas catadas de silex. A parte superior apresenta-se bem laminada com tarcas de ondas e estratificação cruzada. Esta formação ocorre tuma faixa de direção aproximada leste-oeste, a qual inflete para o norte.

O contato desta unidade com a Formação Itararé é por discordância erosiva, sendo que com a Formação Irati o contato caracteriza-se por uma nitida superficie de descontizuidade.

Sua espessura atinge no máximo cerca de 100 metros, mostrando uma sensivel redução para o norte do Estado de São Paulo.

# 4.2.3 - FORMAÇÃO IRATI (GRUPO PASSA DOIS)

Apresenta dois pacotes: o inferior constitui
e de folhelho e siltito cinza, tendo sido denominado Membro

Iaquaral por Barbosa e Almeida (1948); o superior, denominado

Membro Assistência por Barbosa e Gomes (1958), apresenta uma

alternância ritmica de folhelhos pretos pirobetuminosos e cal

cârios dolomíticos, às vezes oolíticos, em finas lâminas. Na

base ocorre um banco de calcário dolomítico, com marcas de cor

mente, gretas de contração e brecha intraformacional.

A espessura máxima é de 40 metros, sendo 30 de

Assistência e 10 metros de Taquaral.

A Formação Irati está localizada na parte sudes da região estudada, numa faixa de direção leste-oeste, que inflete para o norte, acompanhando a Formação Tatui.

É importante salientar que embora Washburne (1930) tenha descrito a existência de folhelhos betuminosos da Formação Irati no interior da Estrutura do Pau D'Alho, nenhum indicio de sua presença foi por nos constatado, durante nossos trabalhos de campo. É provável que se trate da Formação Estra Nova, cujas rochas silto-argilosas são as únicas a aflorar centro da Estrutura, alçadas que foram por falhamentos normais, de movimentos verticais e rotacionais.

### 4.2.4 - FORMAÇÃO ESTRADA NOVA (GRUPO PASSA DOIS)

Constitui-se em sua parte basal por um pacote es siltitos maciços de cores variando do roxo-acinzentado ao einza-claro, aparentando falta de acamamento; apresenta as veces concreções calcárias de forma elipsóide, lembrando a Forma es Serra Alta dos estados sulinos (Landim, 1970).

A esse pacote segue-se uma sucessão de camadas ellosas intercaladas de maneira ritmica, dispostas sub-horicontal ou irregularmente, com lâminas ou estratos argilosos,
ello-argilosos, areno-silticos e arenitos finos. Tais camacas, que tem grande continuidade fisica vertical, geralmente
continétrica, variam bastante lateralmente.

São comuns bancos de siltito calcifero. As es-

marcas onduladas, gretas de contração, brechas intraformacionais e camadas oolíticas.

O contato com a Formação Irati é caracterizado pela perda do caráter betuminoso dos folhelhos.

A espessura máxima da Formação Estrada Nova é de cerca de 150 metros (Landim, 1970). Deve ser salientado aqui que as espessuras obtidas diretamente dessa e de outras formações através os perfis geológicos são incompletas e parciais devido ao caráter tectônico da área, que se encontra intensamente falhado e principalmente pelo fato de não ter sido cosso objetivo principal fazer um levantamento estratigráfico de detalhe.

A Formação Estrada Nova aflora na parte sul da zea e numa larga faixa de direção norte-sul localizada na zeção centro leste do mapa. No interior da Estrutura do Pau Zelho esta formação constitui um alto estrutural, tendo sido zeada ao nível do arenito Pirambóia.

### 4.2.5 - FORMAÇÃO PIRAMBÓIA (GRUPO SÃO BENTO)

Constitui-se de arenitos de granulação média a to fina, raramente grosseira, silto-argilosos, de cor bran a vermelhada, grãos polidos sub-arredondados a sub-angula com finas camadas de argila e siltitos. Apresenta notável atificação cruzada acanalada e cruzada planar.

São característicos grandes bancos de arenito

estratificação cruzada planar separados por camadas silto

estratificação de argila com estratificação plano-paralela.

O contato da Formação Pirambóia com a Formação Estrada Nova é uma discordância erosiva. Existe na sua base uma brecha areno-argilosa, com fragmentos argilosos de siltitos da unidade subjacente, não retrabalhados, que constitui um regolito fóssil, com espessura não superior a 3 metros. Esta brecha está bem exposta no Km 81,5 do perfil A-B (Fig. 2).

O contato com a unidade superior, arenitos eólicos da Formação Botucatu é gradacional. Uma zona de mudanças das características texturais dos arenitos apresenta mais ou menos 10 metros de espessura.

A espessura desta formação é de 200 metros, au entando para oeste.

Suas características faciológicas indicam ambiente continental, com depósitos de rios meandrantes e anastosados, de planícies de inundação e pequenas lagoas, em contições oxidantes. Os extensos bancos de arenito com estratificação planar bastante inclinada são formados pela migração do canal de grandes rios, em diversos ciclos, cada qual truncando cavemente os depósitos de inundações anteriores.

Ocorre na parte centro-oeste da área.

# 4.2.6 - FORMAÇÃO BOTUCATU (GRUPO SÃO BENTO)

A Formação Botucatu é constituida de arenitos granulação média a fina, bem selecionados, sem matriz, muiporosos, friáveis e com grãos foscos. Dispõem-se normalmen
em grandes cunhas com estratificação cruzada de grande portangencial na base. A estratificação é dada por alternância

O contato da Formação Pirambóia com a Formação Estrada Nova é uma discordância erosiva. Existe na sua base uma brecha areno-argilosa, com fragmentos argilosos de siltitos da unidade subjacente, não retrabalhados, que constitui um regolito fóssil, com espessura não superior a 3 metros. Esta brecha está bem exposta no Km 81,5 do perfil A-B (Fig. 2).

O contato com a unidade superior, arenitos eólicos da Formação Botucatu é gradacional. Uma zona de mudanças das características texturais dos arenitos apresenta mais ou zenos 10 metros de espessura.

A espessura desta formação é de 200 metros, au mentando para oeste.

Suas características faciológicas indicam ambiente continental, com depósitos de rios meandrantes e anasto esados, de planícies de inundação e pequenas lagoas, em contições oxidantes. Os extensos bancos de arenito com estratificação planar bastante inclinada são formados pela migração do emal de grandes rios, em diversos ciclos, cada qual truncando expense os depósitos de inundações anteriores.

Ocorre na parte centro-oeste da área.

# 4.2.6 - FORMAÇÃO BOTUCATU (GRUPO SÃO BENTO)

A Formação Botucatu é constituida de arenitos granulação média a fina, bem selecionados, sem matriz, muiporosos, friáveis e com grãos foscos. Dispõem-se normalmen
em grandes cunhas com estratificação cruzada de grande portangencial na base. A estratificação é dada por alternância

ritmica de granulação média e fina, raramente grosseira ou mui to fina. Nos planos dos extratos é comum ocorrerem marcas ontuladas.

Assenta-se concordantemente sobre a Formação Pizambóia. O contato com a unidade superior, derrames basálticos, é complexo em muitas áreas em virtude da ocorrência de interdigitamento e recorrência de litologias. Em nossa área ocore apenas no setor noroeste do mapa geológico.

A espessura da Formação Botucatu foi medida na Serra de São Pedro atingindo um máximo de 100 metros, constizindo-se na parte inferior das encostas mantidas pelo basal-

A Formação Botucatu é constituida de depósitos areias transportados pelo vento em um ambiente de condições aredominantemente desérticas.

# 4.2.7 - FORMAÇÃO SERRA GERAL (GRUPO SÃO BENTO)

É uma sequência vulcânica constituida de basa<u>l</u>

toleiticos. Na base ocorrem arenitos semelhantes ao Botuc<u>a</u>

em finas camadas intercaladas nos derrames.

Os basaltos encontram-se bastante intemperizacom um fraturamento muito pronunciado. Na Serra de São Pe
nota-se nas encostas zonas coluviais constituidas de blodecompostos de basalto.

A espessura máxima medida também na Serra de Pedro é de aproximadamente 100 metros.

O contato desta com a Formação Bauru é por dis-

cordância, sendo que esta superficie encontra-se pouco ondula da, representando um ciclo de peneplanização pré-Bauru. Aflora apenas no flanco noroeste da área, na Serra de São Pedro. (Fig. 4, perfil E-F)

### 4.2.8 - INTRUSIVAS BÁSICAS

As intrusivas básicas ocorrentes na região est<u>u</u> dada constituem-se de diabásios toleiticos, geralmente associ<u>a</u> dos às formações subjacentes ao arenito Pirambóia.

Na maioria dos casos estão relacionadas a falha mentos e constituem intrusões concordantes e discordantes, sills e diques respectivamente.

Na parte central da área, foi evidenciado pelos perfis geológicos, que os morros que se destacam no relevo, são capeados por diabásio, mais resistente à erosão que os sedimentos adjacentes (Fig. 2, perfil A-B).

As espessuras desses corpos intrusivos são mui
to variáveis, de poucos metros a cerca de 50 metros no Morro
da Fortaleza (Fig. 2, perfil A-B).

Geneticamente, os diabásios estão ligados a For

# 4.2.9 - FORMAÇÃO BAURU

Constitui-se predominantemente de arenitos de res avermelhadas e amareladas, granulação média a muito firaramente ocorrem camadas com siltitos e argilitos ou are nitos conglomeráticos.

A espessura máxima observada foi de 30 metros, sendo localmente coberta por areias inconsolidadas de idade neocenozóica. Afloram estes sedimentos no topo da Serra de São Pedro, em contato com a Formação Serra Geral.

#### = GEOLOGIA ESTRUTURAL

Com o mapeamento que realizamos na primeira eta desse trabalho, ficou evidenciada, no centro do mapa geoló uma estrutura que vem sendo objeto de estudos há já mui anos por eminentes geólogos.

Foi com o objetivo de trazer novos dados ao esestrutural daquela área que executamos uma série de perescológicos atravessando estrategicamente a Estrutura do
escológicos.

Além disso, era nossa intenção, inicialmente, le levantamento de fraturas porventura existentes nos mentos da região mapeada. Porém, com o conhecimento que da área, através o estudo fotointerpretativo das foto aéreas e a confecção dos perfis geológicos, chegamos a aço que este tipo de trabalho não poderia ser executado, a falta de bons afloramentos apresentando fraturamento e a presença de extensa cobertura de sedimentos neo-

# 5.1 - PERFIS GEOLÓGICOS

# 5.1.1 - METODOLOGIA

 com precisão até 1 metro. As leituras com o altimetro eram setas sempre em relação a estação anterior, após as quais era eramente colocado em zero, de tal maneira que todas as leituras eramente colocado em zero, de tal maneira que todas as leituras eram relativas, o que diminui ao minimo os erros devido ariações atmosféricas.

Como as camadas geológicas apresentam mergulhos es pequeno valor, variando de 0,5° a 7°, todas as medidas forefetuadas pelo método dos três pontos, em que se empregou elinômetro e trena.

Após o levantamento geológico de todas as estra pesquisadas, confeccionou-se para cada uma delas uma plan a escala de 1:50.000, com os dados coletados diretamente campo.

Todos os pontos levantados de cada uma das es
adas foram retificados, sofrendo um rebatimento segundo a

alhor reta que passa pelos pontos, de acordo com o principio

a minimos quadrados. Em seguida construiu-se os perfis topo
aficos que possuem cotas absolutas extraidas das folhas to
araficas 1:50.000 do Instituto Geográfico e Geológico. A ati

ade das camadas foi modificada de acordo com a direção do per

1.

Todos os perfis atravessam a Estrutura pesquis<u>a</u> e foram assim denominados :

Perfil A-B (Anhembi - Piracicaba), ao longo da rodovia de terra Piracicaba-Botucatu, com um comprimento total de 83 quilometros e retificado segundo a direção N85E. (Fig. 2)

pe para controlar as distâncias percorridas e um altimetro Pau lin com precisão até 1 metro. As leituras com o altimetro eram feitas sempre em relação a estação anterior, após as quais era novamente colocado em zero, de tal maneira que todas as leituras eram relativas, o que diminui ao minimo os erros devido a variações atmosféricas.

Como as camadas geológicas apresentam mergulhos de pequeno valor, variando de 0,5° a 7°, todas as medidas foram efetuadas pelo método dos três pontos, em que se empregou elinômetro e trena.

Após o levantamento geológico de todas as estra de las pesquisadas, confeccionou-se para cada uma delas uma planta na escala de 1:50.000, com os dados coletados diretamente campo.

Todos os pontos levantados de cada uma das estradas foram retificados, sofrendo um rebatimento segundo a melhor reta que passa pelos pontos, de acordo com o princípio dos mínimos quadrados. Em seguida construiu-se os perfis topográficos que possuem cotas absolutas extraídas das folhas topográficas 1:50.000 do Instituto Geográfico e Geológico. A atitude das camadas foi modificada de acordo com a direção do perfil.

Todos os perfis atravessam a Estrutura pesquis<u>a</u>

e foram assim denominados :

Perfil A-B (Anhembi - Piracicaba), ao longo da rodovia de terra Piracicaba-Botucatu, com um comprimento total de 83 quilometros e retificado segundo a direção N85E. (Fig. 2)

- 5) Perfil C-D (Capela Santa Cruz-Chācara Trēs Marias), ao longo da rodovia de terra Piracicaba-Anhumas, num total de 34 quilometros e retificado segundo a direção N40E. (Fig. 3)
- c) Perfil E-F (Serra de São Pedro-Pau D'Alho), ao longo da rodovia asfaltada Piracicaba-São Pedro, sendo parte do perfil
  na estrada Artemis-Pau D'Alho, num total de 37 quilometros
  e retificado segundo a direção N30W. (Fig. 4)
- dovia de terra Piracicaba-Conchas, num total de 26 quilometros e retificado segundo a direção N45E. (Fig. 5)

As estradas em que foram realizados os perfis

## 5.1.2 - RESULTADOS

Embora tenhamos realizado o mapeamento fotogeo-Lógico de uma área mais ampla, nosso objetivo principal foi Letalhar a área da Estrutura do Pau D'Alho, cujas feições prin Letalhar a órea da Estrutura do Pau D'Alho, cujas feições prin

Da observação dos perfis geológicos realizados rerifica-se o mergulho regional suave para ceste, da ordem de grau. Tal situação é modificada localmente por um grande nú ero de falhas que ocorrem na região. Estas falhas são normis, geralmente escalonadas, com rejeitos de ordem de dezenas metros e com planos verticais e subverticais.

Algumas falhas, porém, apresentam movimentos com plezos, muitas vezes com basculamentos, devido a deslocamentos

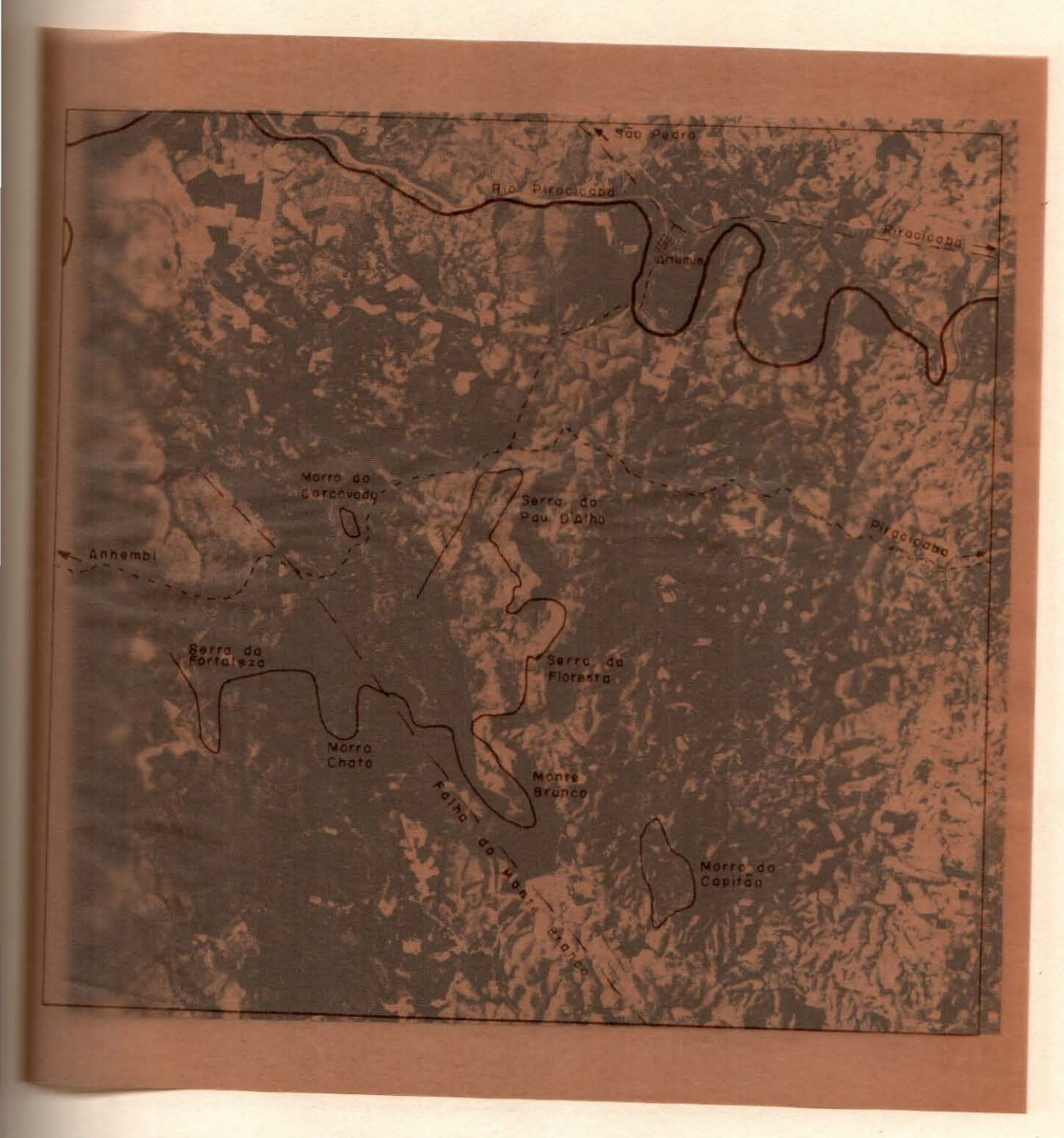
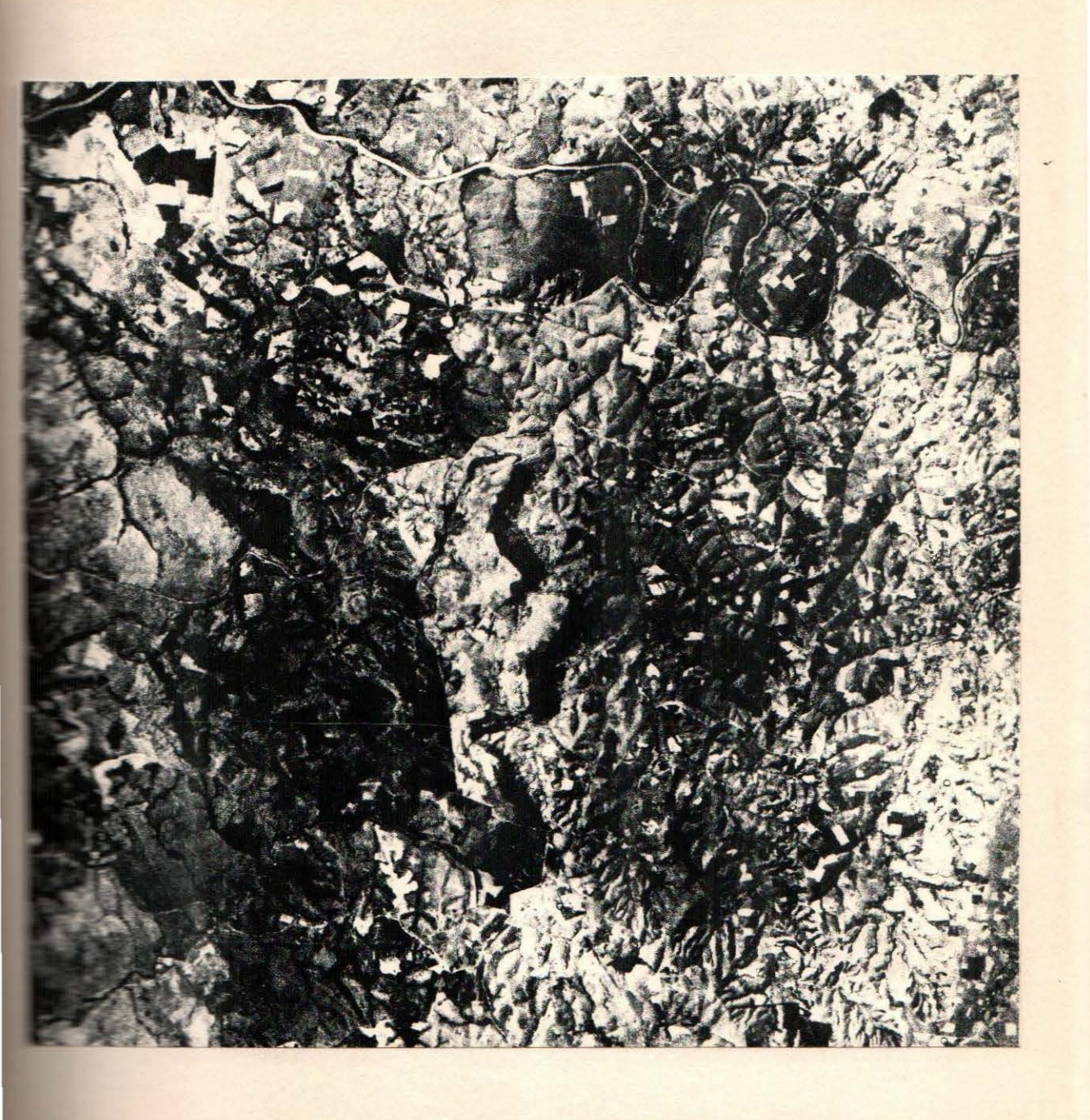


Foto 1 - Vista aérea parcial da área da Estrutura do Pau D'
Alho, destacando-se seus principais acidentes geográficos. Escala aproximada - 1:138.000



Alho, destacando-se seus principais acidentes geográficos. Escala aproximada - 1:138.000

rotacionais. Este tipo de falhamento é mostrado no Ribeirão dos Marins no Perfil A-B, figura 2.

A direção principal dos falhamentos é N40W, sendo que a falha principal é a do Monte Branco, que acompanha o flanco oeste da Estrutura. Tem uma extensão de aproximadamente 20 quilometros, podendo no entanto ser prolongada tanto ao norte como ao sul da Estrutura do Pau D'Alho.

Verifica-se, pela análise dos perfis, que há realmente um sistema de falhamento conspicuo na área, que ocasio nou o soerguimento do bloco onde ocorre a Formação Estrada Nova. Nos blocos rebaixados ocorre diabásio capeando os morros testemunhos.

Muitas das falhas estão associadas a intrusões de corpos concordantes e discordantes de magmatitos básicos.

Muitos dos morros da região são diques associados a falhas, como por exemplo o morro do Corcovado (foto 2). Outros morros são capeados por sills de diabásio, como a Serra do Pau D'Alho (foto 3).

Como verificado pelos perfis, a Estrutura do Pau

D'Alho é portanto um alto estrutural, sendo limitada a leste

por outras falhas paralelas a de Monte Branco. Esse alto estru

tural foi bem evidenciado pelos perfis geológicos, uma vez que

todos os contatos Estrada Nova - Pirambóia são por falhas.

No Km 54,5 do Perfil A-B (fig. 2), observa-se um afloramento de um ritmito pertencente à Formação Estrada Dova, muito endurecido pelo contato com o magmatito e que merquiha contra o sentido regional (fotos 4 e 5). É comum na área encontrar-se drags de falha, com mergulhos às vezes chegando 25 graus.

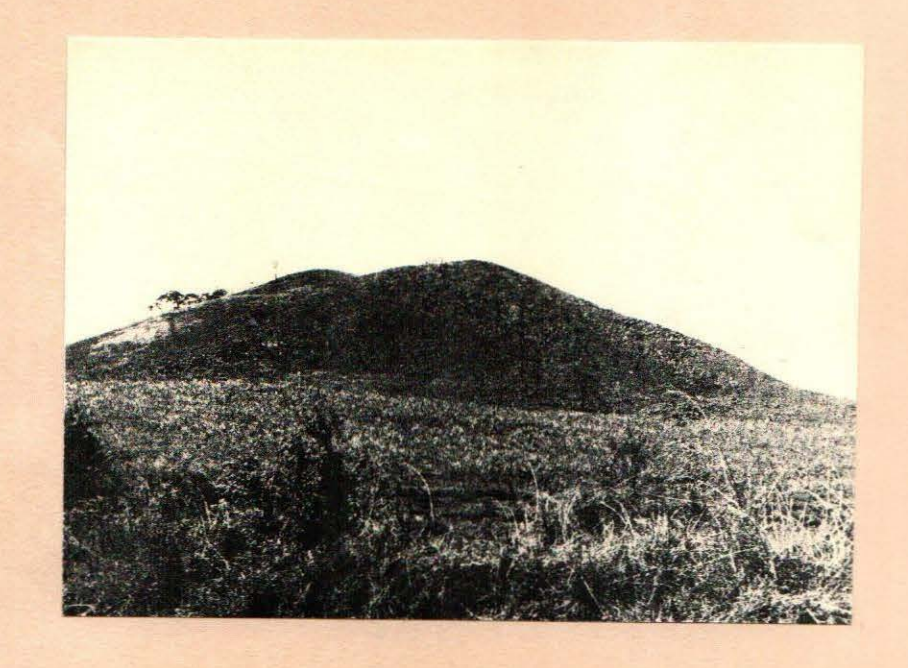


Foto 2 - Morro do Corcovado, constituido por um dique de diab $\underline{\hat{a}}$  sio. Km 54,8 perfil A-B. Fig. 2



Poto 3 - Vista oeste da Serra do Pau D'Alho, capeada por um sill de diabásio.



Foto 4 - Afloramento da Formação Estrada Nova mergulhando 7º para NE, contrário ao mergulho regional. Esses sedimentos foram metamorfizados em contato com o diabásio do Morro do Corcovado. Km 54,5 do perfil A-B. Fig. 2.



Poto 5 - Mesmo afloramento anterior, mostrando uma pequena do bra, em que o martelo representa o eixo, com mergulhos segundo as setas. Note-se a abundância de diacla ses, raras em outros afloramentos.

Devido a constância da presença conjunta de sills e diques em todos os perfis, aventou-se um mecanismo, que é esquematizado no perfil A-B, fig. 2, segundo o qual juntamente com o falhamento, haveria a intrusão de magma básico, o qual se introduziria nas rochas tanto na forma de diques como de sills, como se pode notar nas serras do Pau D'Alho, Sera da Fortaleza, Monte Branco, etc.

Desta maneira as coberturas magmáticas desses morros não são aqui interpretados como derrames, como anterior mente se julgava, mas sim como jazimentos intrusivos concordar tes. Isto é evidenciado no perfil E-F, fig. 4, pelo desnível de aproximadamente 300 metros entre o basalto da Serra de São Pedro e o diabásio da Serra do Pau D'Alho, sendo que entre ambos não ocorrem falhamentos dignos de nota.

Os afloramentos percorridos na área por ocasião da confecção dos perfis não são muito abundantes, principalmente onde aflora o arenito Pirambóia, que é na sua maior parte coberto por sedimentos cenozóicos.

Os contatos de um modo geral são graduais, havendo em certos locais, como próximo ao Ribeirão Pederneiras, (Perfil G-H, fig. 5) uma semelhança enorme entre Estrada Nova e Pirambóia, dificultando muito a distinção entre ambos.

A Formação Pirambóia em alguns afloramentos (fotos 6 e ?) mostra seu aspecto característico, com estratifica cruzada, diastemas, mas na maior parte dos afloramentos, principalmente no setor oeste, ela é reconhecida por sua estrutura maculada característica, não se observando estratificações evidentes.



Foto 6 - Afloramento da Formação Pirambóia, notando-se estrati ficação cruzada e marcas de onda. Km 13,3 do perfil G-H. Fig. 5.



tando na parte inferior arenito com estratificação plano paralela e na parte superior estrutura inclinada incipiente. Km 20,5 do perfil C-D, base do Morro do Capitão. Fig. 3.

Um aspecto interessante observado durante a realização dos perfis é a presença de uma brecha que aparece qua se sempre nos contatos entre a Formação Estrada Nova e a Formação Pirambóia, como é mostrado no Perfil G-H, no Km 81,5, na localidade denominada Jardim São Jorge (fotos 8 e 9). Outros autores, como Bósio (1973) e Fulfaro (1967) citam exemplos de existência desta brecha dentro da Formação Pirambóia.

mhecemos em nossos perfis as estruturas dômicas de Anhembi e Artemis (fig. 2 e 4), as quais possuem um mecanismo de soergui mento provocado muito provavelmente por intrusões de magmatitos, mecanismo este diferente daquele ocorrente na Estrutura do Pau D'Alho, ocasionado por falhamentos normais e rotacionais.

## 5.2 - LEVANTAMENTO ESTATÍSTICO DE FRATURAS

## 5.2.1 - INTRODUÇÃO

Verificada a presença de um alto estrutural através de método geológico convencional, isto é, perfis geológicos, resolvemos tentar aplicar uma metodologia ainda não perfeitamente difundida entre nós, ou seja, a utilização de fraturas a partir de fotografias aéreas, com a finalidade de comparado os resultados testar o método.

Pesquisas geológicas de cunho estrutural, estratigráfico e genético vêm empregando cada vez mais frequentemente métodos estatísticos, facilmente aplicáveis hoje pela utilicação de computadores. Todavia, o emprego de métodos estatísti



Foto 8 - Vista geral do afloramento de uma brecha no Km 81,5 do perfil A-B. Fig. 2.



Poto 9 - Detalhe da brecha acima descrita, notando-se o contato com a Formação Estrada Nova, a ela sotoposta.

cos a dados angulares como no caso da direção de fraturas, encerra ainda uma série de dificuldades de caráter teórico. Vide a propósito Steinmetz (1962) e Jones (1967).

Um dos primeiros pesquisadores a se interessar pelo assunto foi Krumbein (1939), que apresentou um método estatistico no estudo do eixo maior de seixos em depósitos sedimentares com o objetivo de determinar a sua orientação preferencial e consequentemente a direção de fluxo de transporte.

Nesse caso, o método foi empregado para dados direcionais univariados, pois, embora tenham sido medidos o mergulho do eixo maior de cada seixo e os respectivos rumos, utilizou-se apenas das direções dos eixos. A metodologia para processamento dos dados pode ser assim sumarizado:

- a) Os azimutes são agrupados em classes com intervalos regulares e é anotada a sua frequê<u>n</u> cia para cada classe.
- b) O ponto médio de cada classe é duplicado e calcula-se o seno e o coseno desse ângulo.
- c) Multiplica-se o seno e o coseno de cada clas se pela frequência da mesma.
- d) Efetua-se a somatória das colunas dos senos e dos cosenos.
- e) Finalmente é calculada a tangente do vetor médio pela divisão da somatória dos senos pela somatória dos cosenos. O valor angular é dividido por 2 por ter sido inicialmente duplicado. Pelo sinal do seno e coseno pode-se saber o quadrante a que pertence o azimute médio resultante.

Quando não se utilizam dados vetoriais, isto é, dados que possuam sentido, há necessidade de se duplicar os azimutes. O erro em que se incorre por não se duplicar os azimutes quando se empregam dados direcionais, que variam de  $0^\circ$  a  $180^\circ$ , pode ser verificado na fig. 6.

No caso A, o erro é atenuado pela concentração simétrica de azimutes em torno de  $90^\circ$ ; no caso B, o erro é bem acentuado, pelo fato de que a maioria dos azimutes são proximos de  $0^\circ$  ou  $180^\circ$ , compensando-se entre si, enquanto os poucos azimutes proximos de  $90^\circ$  não tem azimute oeste que os compensem. Qualquer que se seja a distribuição, portanto, a resultante R<sub>1</sub> é sempre proxima de  $90^\circ$ . O caso C, da mesma figura, ilustra o processo correto de se calcular a resultante da distribuição B, através da duplicação dos azimutes.

Nos casos onde os dados direcionais empregados são obtidos a partir de uma distribuição variando de 0º a 90º (quadrante), é necessário que os azimutes direcionais- sejam quadruplicados (Pincus, 1956).

Baseando-se em Krumbein (1939) e Curray (1956),
Pincus (1956) desenvolveu uma metodologia para dados geológicos bivariados, isto é, envolvendo, por exemplo, rumo e mergulho. Seu método é de fácil aplicação, tendo o autor preparado
uma tabela onde os dados são diretamente computados. Neste processo, o azimute resultante é obtido através o mesmo procedimento utilizado por Krumbein, sendo ainda obtidos os valores
do módulo da resultante (R) e a dispersão (d), através as fór
mulas:

$$R = \sqrt{(\Sigma_i^n \operatorname{sen} \alpha_i)^2 + (\Sigma_i^n \cos \alpha_i)^2}$$

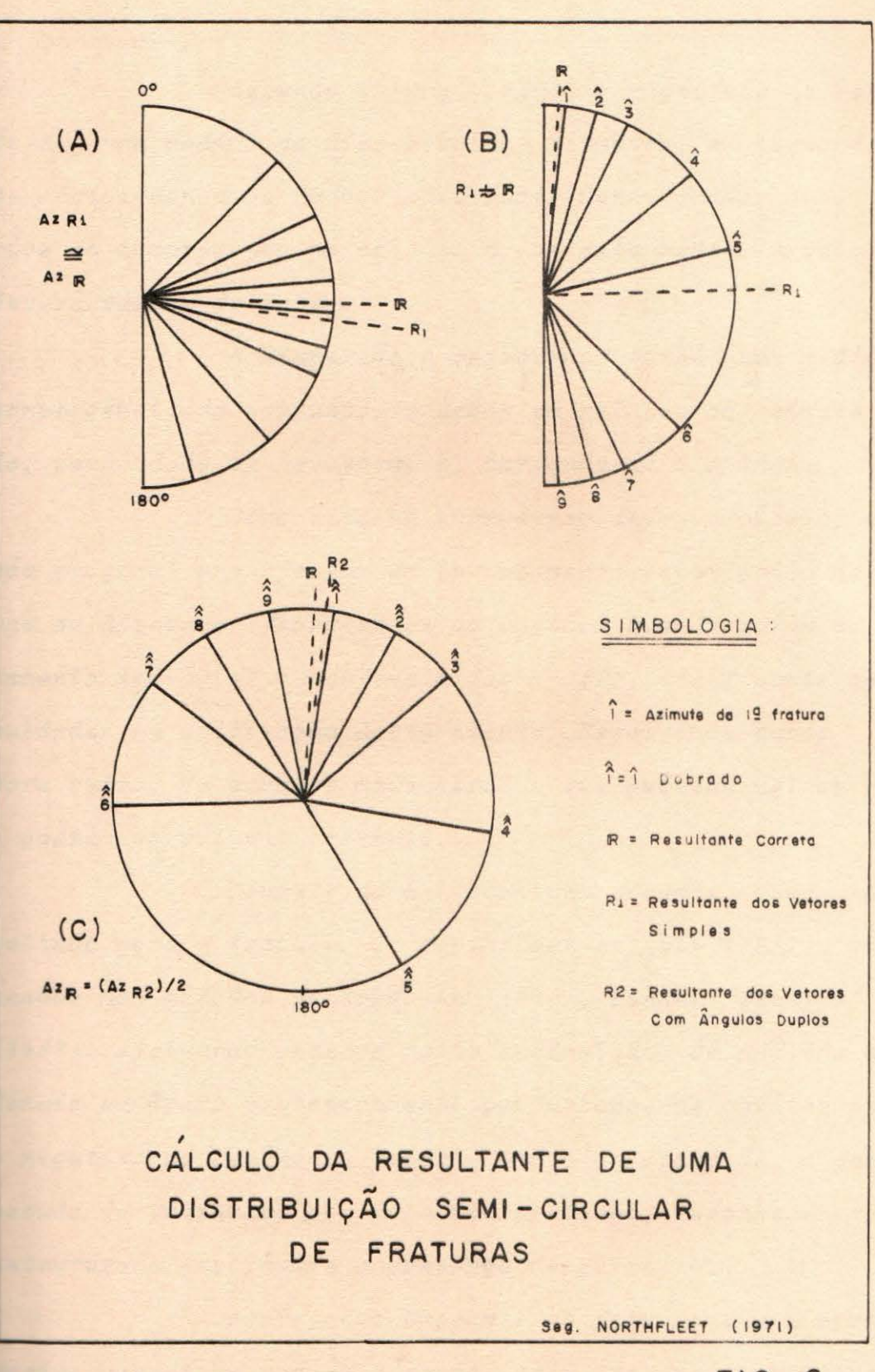


FIG. 6

 $d = (\frac{R}{N})$  x 100, onde N é o número de dados.

Segundo Curray (1955), a magnitude da resultante R é uma medida da dispersão dos azimutes, em torno do azimute médio. Sendo os dados individuais considerados como unitários em comprimento no cálculo do azimute médio, o valor de  $\underline{R}$  deverá variar de zero a N.

A dispersão de representa também uma medida da convergência do conjunto de dados em relação ao azimute obtido, sendo dada em percentagem, variando de 0 a 100%.

Como dito na introdução desse capitulo, a intenção original era efetuar um levantamento estatístico de fraturas em diversos afloramentos da região. Quando porém do levantamento geológico e confecção dos perfis, verificamos as dificuldades na utilização deste método. Resolvemos então apelar para outro, de caráter mais geral e que pudesse melhor revelar o padrão estrutural presente.

Consultada a literatura tivemos nossa atenção voltada para o trabalho de Northfleet et alli (1971), que baseados nos métodos de Krumbein (1939), Pincus (1956) e Fox (1967), efetuaram estudos reais e simulados de análise de tem dência em áreas tectonicamente perturbadas de caráter positivo e negativo do Recôncavo Baiano, com o objetivo de, a partir do estudo de fraturas, por fotointerpretação, reconhecer feições estruturais favoráveis a presença de petróleo.

Assim, nos baseamos no fato de que a crosta terestre possui um padrão caracteristico de fraturamento e que sode ser modificado localmente por falta de homogeneidade da

#### 5.2.2 - METODOLOGIA

Através fotografias aéreas, na escala 1:60.000, efetuou-se o levantamento de todas as fraturas de drenagem e relevo, num total de 2406.

Para efeito dos cálculos foram consideradas to das as fraturas cujas dimensões variavam entre 100 e 3.000 metros.

Posteriormente essas fraturas foram restituidas por meio do "Sketchmaster" e desenhadas originalmente num mapa na escala 1:50.000. O mapa de fraturas em escala reduzida é apresentado na fig. 7.

Para o levantamento destas fraturas foi confeccionada uma grade com celas quadradas de 6 cm de lado, representando uma área de 9  ${\rm Km}^2$ , cada uma, num total de 100 celas unitarias.

Toda fratura total ou parcialmente contida em cada cela foi medida com um transferidor, sendo os azimutes lidos no sistema internacional. O comprimento de cada fratura foi medido em milimetros.

Para o estudo estatístico efetuado calculou-se o azimute médio para cada conjunto de 4 celas de tal maneira que cada cela participa do cálculo de quatro conjuntos diferentes. De acordo com a fig. 8 a cela 1A é constituida pelas pequenas celas 1A1, 1A2, 1A3 e 1A4. A cela 3A é constituida pelas pequenuenas celas 3A1, 3A2, 3A3 e 3A4. Já a cela 2A é constituida pelas por metade da cela 1A e metade da cela 3A, ou seja pelas pequenas celas 1A1, 1A2, 3A3 e 3A4, sendo que para as outras celas celas celas 1A1, 1A2, 3A3 e 3A4, sendo que para as outras celas

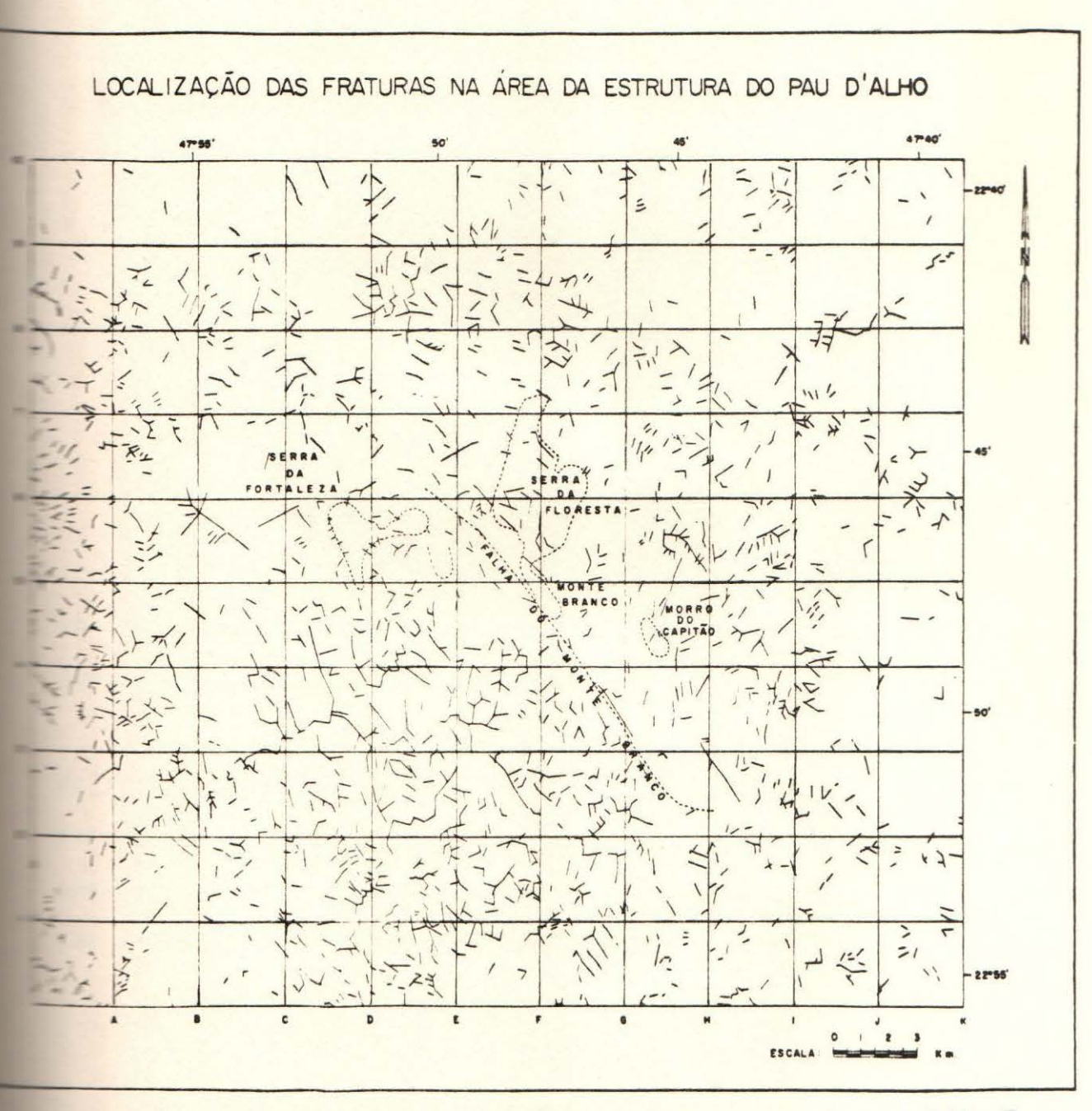


FIG. 7

o raciocinio e o mesmo.

3	1	2	1	2
	3	4	3	4
2  -	ı	2	ı	2
	3	4	3	4

Grade de celas unitárias para o estudo de fraturas.

Todos os cálculos estatísticos e trigonométricos foram executados em calculadoras eletrônicas Hewlett Packard mod. 10 e Compucorp mod. 320 G.

Com os dados conseguidos através o levantamento de fraturas passou-se para uma segunda etapa, onde empregamos quatro métodos estatísticos tendo como objetivo a melhor interpretação dos fenômenos tectônicos ocorrentes na área e verifica de qual o método que se adaptaria melhor à situação geológica.

Os processos utilizados foram os seguintes :

- Método da duplicação dos azimutes
- Método da resultante única
- Método das resultantes parciais
- Método da análise de tendência vetorial

A seguir, para melhor compreensão dos processos usados, destacamos a metodologia, resultados e conclusões obt<u>i</u> das para cada um deles, sendo que ao final do capitulo será fe<u>i</u> ta uma comparação entre eles.

### 5.2.2.1 - MÉTODO DA DUPLICAÇÃO DOS AZIMUTES

Empregou-se aqui o método preconizado por Krumbein (1939) com algumas modificações :

- a) São duplicados todos os azimutes das fraturas contidas total ou parcialmente em cada cela.
- b) Calcula-se o seno e o coseno de cada azimute duplicado.
- c) Multiplica-se o seno e o coseno de cada azimute pelo seu respectivo módulo (m.).
- d) Efetua-se a somatória das colunas dos senos e cosenos.
- e) Calcula-se a tangente do azimute médio pela divisão da somatória, dos senos pela somatória dos cosenos, de acordo com a fórmula

$$2\theta_{m} = arctg \frac{\{\Sigma_{i}^{n} \quad m_{i} \cdot sen_{2\theta i}\}}{\{\Sigma_{i}^{n} \quad m_{i} \cdot cos_{2\theta i}\}}$$

valor angular é dividido por 2 por ter sido inicialmente du plicado. Desta forma cada cela passa a ser representada por uma inica fratura, que é o azimute médio da cela, com valor angular

e modulo determinado. Como se pode observar foram introduzidas algumas modificações, explicadas a seguir :

- No îtem <u>a</u> os azimutes não foram agrupados em intervalos regulares para posteriormente duplicar-se o ponto médio do intervalo e calc<u>u</u> lar-se as funções trigonométricas correspondentes. Duplicando cada azimute e calculandose se seus senos e cosenos individualmente obte<u>m</u> se uma precisão maior. Tal procedimento só foi possível devido a facilidade da utilização de calculadoras eletrônicas.
- No îtem c, as fraturas não foram consideradas como de módulo unitário, da maneira concebida por Krumbein, mas sim com os seus respectivos comprimentos, o que possibilitou um tratamento ponderal mais real, uma vez que desta maneira, a resultante entre duas fraturas de direções e módulos diferentes tende mais para o lado da fratura de maior dimensão modular.

Um dos inconvenientes no emprego do método da 

plicação dos azimutes é que a dispersão medida não correspon

a realidade, uma vez que os ângulos originais foram duplica

s, sendo a dispersão aumentada artificialmente. Como esta me
da tem o significado estatístico do desvio padrão, verifica
de imediato a sua importância.

Os resultados obtidos por este método são moszados na fig. 9. Da análise desse mapa nota-se um padrão ge-

## MAPA DOS AZIMUTES MÉDIOS MÉTODO DOS AZIMUTES DUPLICADOS

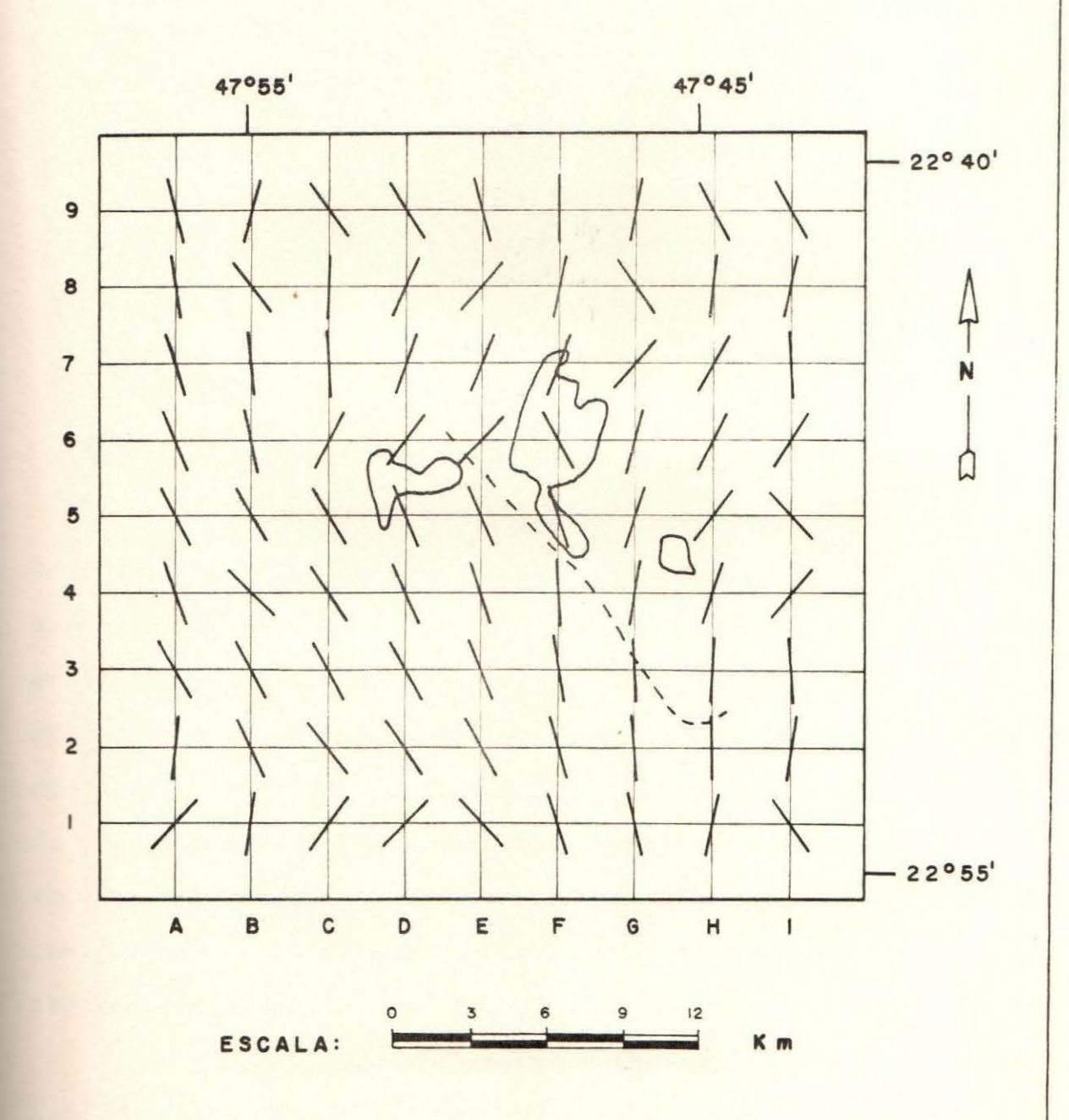


FIG. 9

ral de fraturamento aproximadamente NORTE-SUL nas bordas, enquanto que ao redor da Estrutura do Pau D'Alho é notada uma perturbação maior com padrões de fraturamento NW nas porções SW e NE sendo que o padrão é notadamente NE nos setores NW e SE da estrutura. Essas perturbações teriam origem nos movimentos tectônicos que ocorreram na área através falhamentos e intrusões e que modificaram os padrões normais de fraturamento das rochas sedimentares.

Dando sequência ao nosso estudo tratamos os nos sos dados pelo método que denominamos método da resultante única.

## 5.2.2.2 - MÉTODO DA RESULTANTE ÚNICA

A metodologia seguida nesse processo é a mesma de Krumbein (1939) e Pincus (1956) com a diferença de que os comutes não foram duplicados. A razão de não se duplicar os an gulos se deve ao fato já explicado de que a dispersão é muito efetada por esta duplicação, de forma que os azimutes médios das celas apresentam sempre seus módulos com valores menores do que os reais. Embora reconhecendo que a não duplicação dos comutes acarreta erro ao processo, quizemos testar o método sem falsear os resultados apresentados pelos módulos e sua respectiva dispersão.

O mapa dos azimutes médios segundo este método está representado na fig. 10.

Observa-se neste mapa um padrão normal de frat<u>u</u>

mento ao longo da direção ESTE-OESTE. Ao redor da parte ce<u>n</u>

# MAPA DOS AZIMUTES MÉDIOS MÉTODO DA RESULTANTE ÚNICA

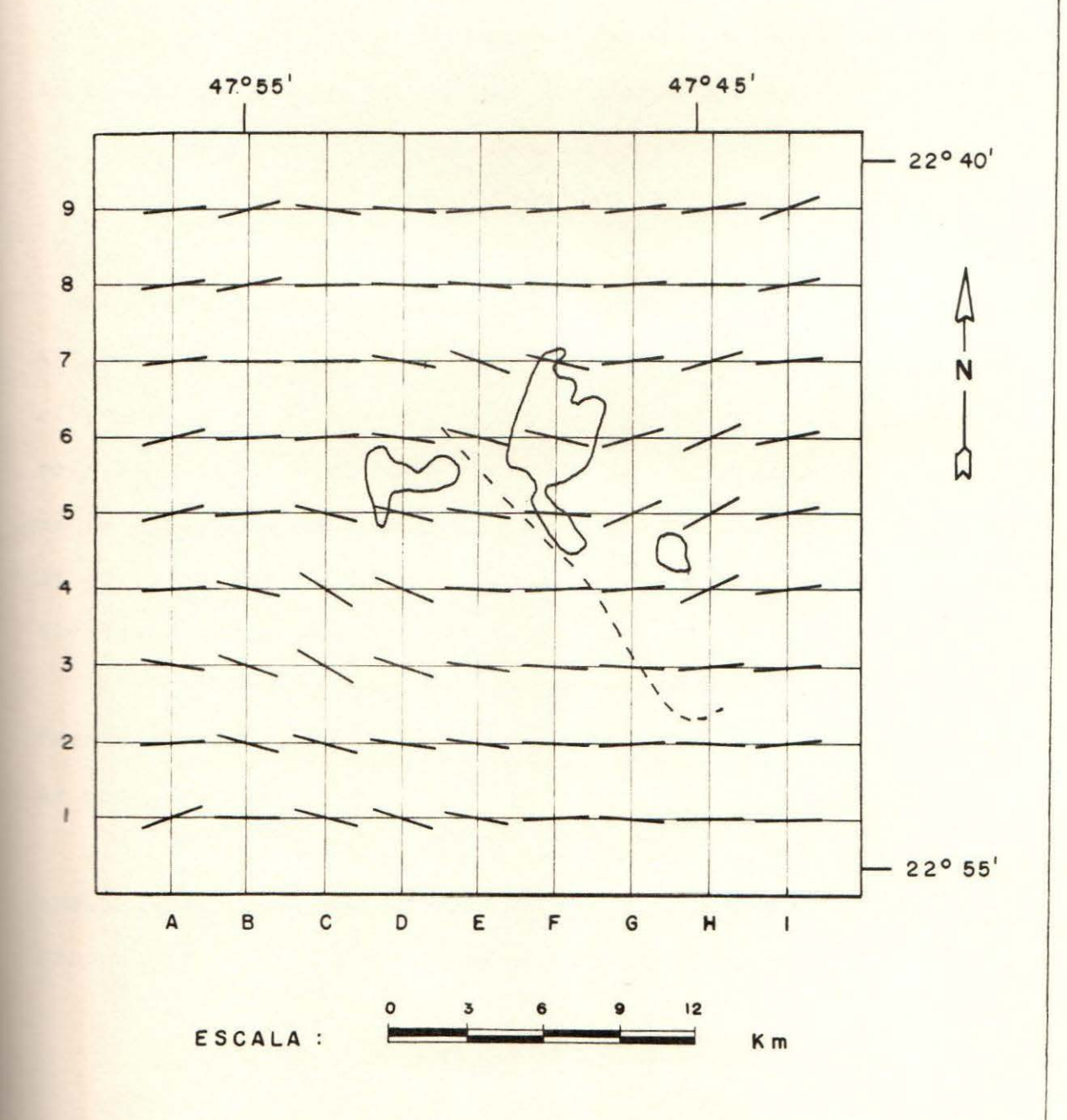


FIG. 10

tral do mapa, onde está localizada a Estrutura do Pau D'Alho, verifica-se que há uma sensível perturbação com direção de fraturamento NE no setor nordeste da estrutura e uma direção NW no setor sudoeste do mapa. Dessas observações conclui-se que o método é relativamente sensível para a detecção de perturbações tectônicas em áreas sedimentares.

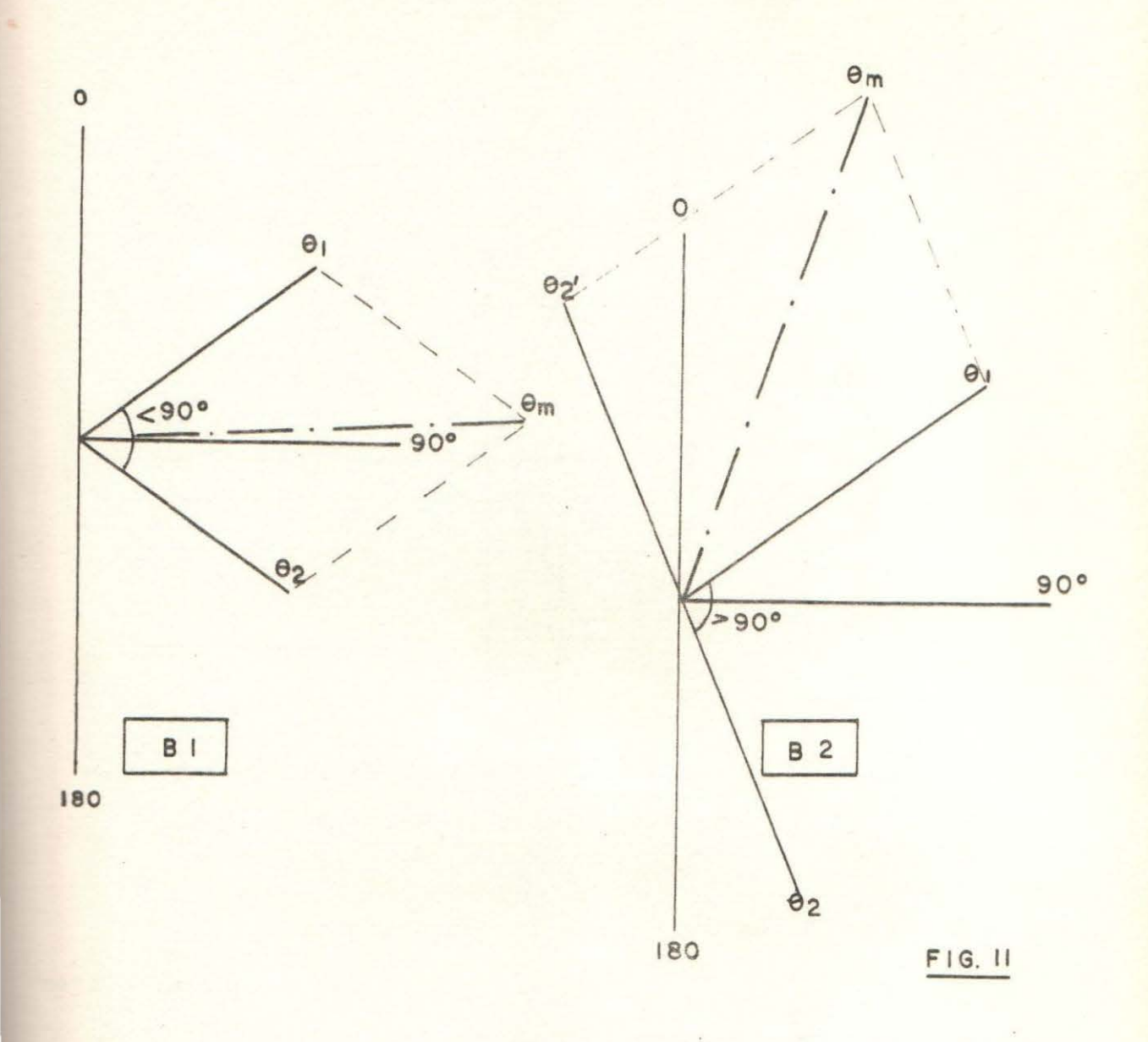
Após a utilização deste método foi nosso intuito testar um novo processo que abordaremos a seguir :

### 5.2.2.3 - MÉTODO DAS RESULTANTES PARCIAIS

Esta análise estatística é feita de maneira similar ao método anterior, porém com uma diferença fundamental : es azimutes de cada cela, foram agrupados em dois conjuntos : maiores que 90° e menores que 90°. Foi calculado um azimute médio para cada um dos grupos e em seguida, a partir dos dois ezimutes médios parciais, calculou-se o azimute médio da cela, ebedecendo-se a seguinte regra, de acordo com a fig. 11:

No caso B1, em que o ângulo formado pelas duas resultantes é menor que 90°, calcula-se normalmente a resultante média final.

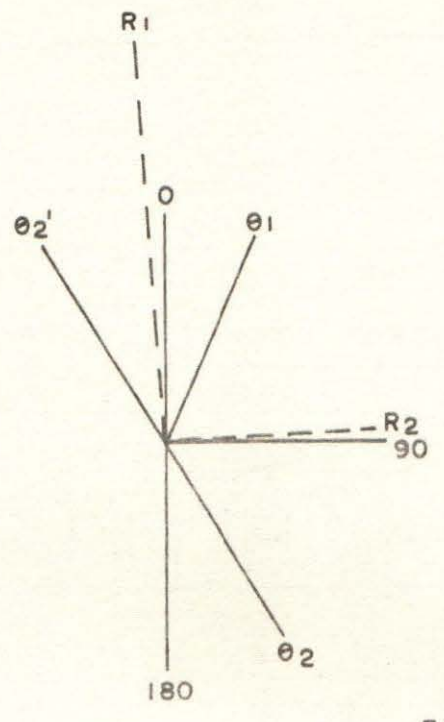
No caso B2, em que o ângulo formado entre as sultantes parciais é maior do que 90°, o cálculo é feito insertendo-se a direção de uma das resultantes parciais.



Obtenção de  $\theta_m$  pelo método das resultantes parciais.

A explicação para esse procedimento é que a reltante final calculada pelo ângulo agudo tem um significado cológico maior, devido sua dispersão ser menor. Como se perce na fig. 12, a resultante  $R_1$  é bem mais consistente do que a cultante  $R_2$  pois há uma maior concentração de fraturas em tor da linha NS, com pequena dispersão.

# UNICAMP Faculdade de Engenharia de Limeir. BIBLIOTEEA



F1G. 12

Variação da dispersão no cálculo do azimute médio - Método das resultantes parciais.

Os resultados desse método são apresentados no mapa de azimutes médios da fig. 13.

Este mapa apresenta um padrão normal de fratura

mento ESTE-OESTE, sendo que a área perturbada é aqui mostrada

de uma maneira muito clara com um padrão anômalo de direção NW

no setor sudoeste e um outro padrão anômalo de direção NE no

setor nordeste do mapa. Observa-se ainda um padrão de fratura
mento Norte-Sul na porção Sul da área e que passa pelo centro

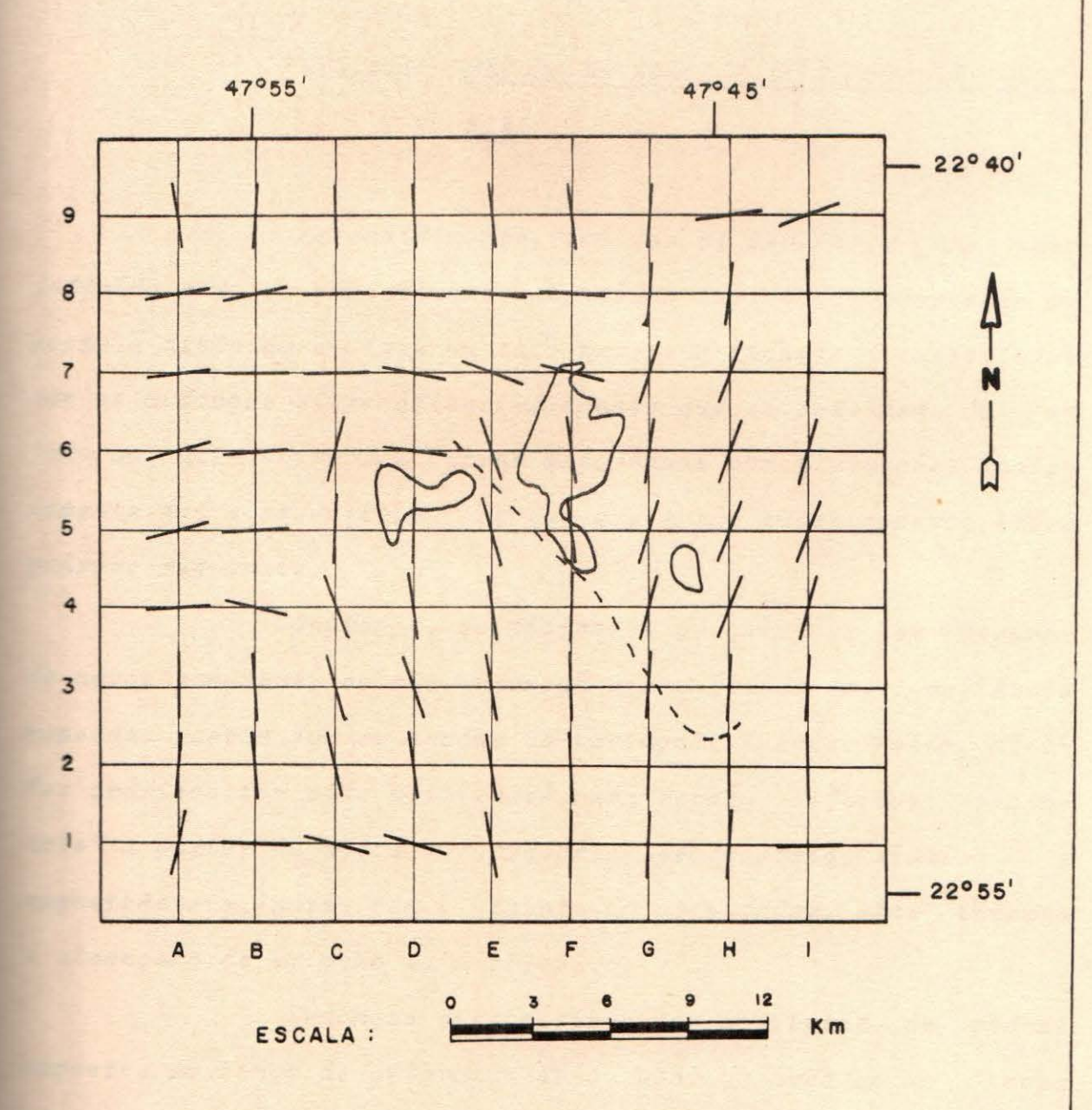
da estrutura dividindo a área perturbada em dois sistemas de

fraturamento.

É interessante notar que os resultados observa
los segundo esse processo são muito semelhantes aos vistos no

processo anterior, método da resultante única.

# MAPA DOS AZIMUTES MÉDIOS MÉTODO DAS RESULTANTES PARCIAIS



Após termos realizado o estudo de fraturas de drenagem e relevo da Estrutura do Pau D'Alho pelos três métodos já citados e verificando que os mesmos, apesar de serem sensiveis às perturbações ocorrentes na área da estrutura, são métodos visuais que permitem somente análises subjetivas que, inclusive, podem se modificar de analista para analista, resolvemos aplicar o método da análise de Tendência Vetorial.

## 5.2.2.4 - METODO DA ANÁLISE DE TENDÊNCIA VETO-RIAL

Essencialmente, análise de tendência pode ser definida como um procedimento através o qual cada observação ma peada é dividida em duas ou mais partes : algumas associadas com as mudanças sistemáticas regionais que se estendem de um lado ao outro do mapa e outras associadas com flutuações aparentemente não sistemáticas, locais, que estão superimpostas sobre padrões regionais.

Geólogos, geofísicos e geoquímicos tem procurado novos caminhos, em que mudanças sistemáticas em variáveis
mapeadas possam ser separadas de variações locais. Assim, métodos gráficos tem sido utilizados para separar "efeitos regionais" a partir de dados observados em gravimetria, sísmica e
magnetometria, porém com o advento do computador, este intento
é alcançado de um modo mais objetivo.

Mudanças sistemáticas nos atributos de rochas expostas ao longo de afloramentos ou sobre a área de um mapa são comuns. A espessura de uma unidade estratigráfica, sua com

posição litológica e conteúdo fossilifero, os fluidos que ocupam seus poros, podem ser exemplos que mostram tais variações. Desse mesmo modo, a composição química e mineralógica de corpos de rochas igneas mostram também tais variações e os processos geológicos que ocorrem em ambientes sedimentares podem mudar sistematicamente de um local do ambiente para outro. Dados geofísicos também mostram tais variações em área. Todas essas situações, porém, dizem respeito a valores lineares e sobre o assunto diversos trabalhos tem sido já escritos. No nosso caso, em que as medidas eram de caráter angular, tivemos que adaptar a metodologia à situação existente.

A maioria dos métodos de análise de tendência envolvem superfícies polinomiais para os dados do mapa, de modo a ser considerada uma técnica de modelos lineares de mínimos quadrados (Krumbein e Graybill, 1965).

A análise de tendência, como é utilizada pelos geólogos, tem invariavelmente envolvida a escolha de superficies de tendência que satisfaçam o critério dos minimos quadrados. Isto resulta em superficies de tendência passando através, acima ou abaixo de cada ponto de dados existentes. A diferença entre os valores computados da superficie de tendência em um ponto e o valor da superficie observada atual daquele ponto é chamada o valor residual (ou valor desvio). Satisfazendo-se o critério dos minimos quadrados, a soma dos quadrados dos residuos deve ser minimizada.

Se a superficie de tendência é tida como a componente regional, então o valor residual pode ser considerado como sendo a componente local. A remoção da tendência tem o efeito de isolar e enfatizar os componentes locais representados pelos valores residuais.

O critério dos minimos quadrados pode ser ilus trado pelo problema de traçar uma linha reta para valores observados de duas variáveis que foram plotadas como pontos em um diagrama tridimensional. Uma linha representando a tendência geral dos valores pode ser traçada visualmente, mas isto não é inteiramente objetivo porque uma pessoa poderá traçar a linha diferentemente de outra pessoa. O problema é obter o melhor traça do, usando-se o processo arbitrário dos minimos quadrados que pode ser definido como:

 $\Sigma (X_{obs.} - X_{tend})^2 = minimo, onde$ 

X<sub>obs</sub> são os valores observados, e

X tend são os valores da superficie de tendência que correspondem àqueles pontos dados.

Se adotarmos o critério dos minimos quadrados deve-se ter em mente que o melhor traçado será aquele que apresentar o menor valor para a somatória dos minimos quadrados. Pode ser mostrado que somente existe uma única posição, para uma reta que resulta de uma somatória dos desvios quadrados de valor minimo.

Na figura 14 a linha de tendência foi desenhade de tal maneira que os desvios de Y em relação a X (mostrado linhas verticais) foi minimizado. O critério dos minimos quadrados pode ser também aplicado para superfícies (fig. 15) e também para hipersuperfícies.

As funções de tendência são descritas por equações. Assim, a linha reta é representada pela equação :

$$Y = A + BX$$
, onde

X e Y são variáveis e A e B são constantes. Nessa equação Y é a dependente variável, A é o valor de interceptação da linha sobre o eixo Y e o coeficiente B representa a declividade da linha.

dos, o problema se resume em calcular os valores de A e B de tal maneira que a somatória dos desvios quadrados seja o menor possível. Traçando-se linhas curvas, superfícies ou hipersuperfícies por este método o objetivo é obter-se os coeficientes das equações de tal maneira que a referida somatória seja minimizada.

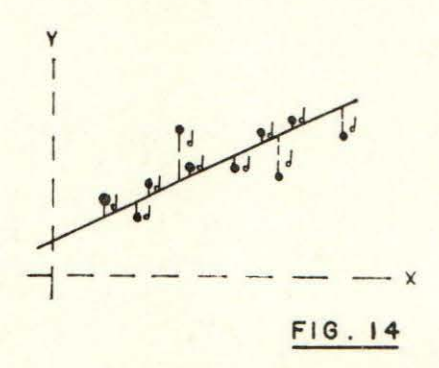
O grau da equação polinomial contendo uma vari<u>á</u>
vel dependente e uma independente é designado pelo máximo valor
de seus expoentes.

Dessa maneira, uma polinomial de segundo grau pode ser escrita desta maneira:

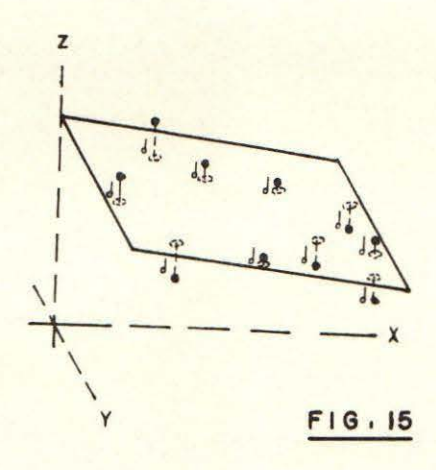
$$Y = A + BX + CX^2,$$

em que X e Y são variáveis, e A, B e C são coeficientes. Igualmente a equação de terceiro grau envolvendo duas variáveis é igual a

$$Y = A + BX + CX^2 + DX^3.$$



Traçado de uma reta por pontos de um gráfico pelo método dos mínimos quadrados. A somatória dos quadrados dos residuos (d) em relação ao eixo do X deve ser minimizada. (Seg. Harbaugh e Merriam, 1968)



Traçado de um plano, por pontos de um gráfico de 3 variáveis pelo método dos minimos quadrados. (Seg. Harbaugh e Merriam, 1968) A fig. 16 apresenta uma série de equações e seus gráficos nos quais o grau é colocado nas colunas e o núme ro de variáveis por linhas. Por exemplo, em equações de primeiro grau, duas variáveis tornam-se uma linha reta, três variáveis um plano, e quatro variáveis uma hipersuperfície de 19 grau.

No presente trabalho foi admitida uma equação a três variáveis, cujos graus variavam de 1º ao 5º grau.

Para o cálculo dos coeficientes das equações pe lo método dos minimos quadrados emprega-se análise matricial, inclusive com inversão de matrizes.

Critérios para selecionar o grau mais apropriado de uma superfície de tendência depende dos objetivos geológicos. Se o objetivo é distinguir relações complexas, uma função
de tendência de valor relativamente alto é requerida. Se, entretanto, a intenção é distinguir tendências gerais em dados comple
zos, uma superfície de tendência de baixo grau pode ser desejá
vel (Harbaugh e Merriam, 1968).

Utilizamo-nos de um programa originalmente escrito por Fox (1957), e que foi posteriormente adapatado por Ja
ir Alves Barbosa, bolsista da Fapesp, para ser usado em Computador IBM 1130, com 32 K de memória. O programa, intitulado "Análise de Tendência Vetorial", escrito em Fortran IV, foi proces
sado no computador DIGITAL PDP-10 da Universidade Estadual de
Campinas.

Basicamente esse programa usa polinômios ortogonais, análise matricial e minimos quadrados como técnica na análise de superficies de dados direcionais. A utilização de poli

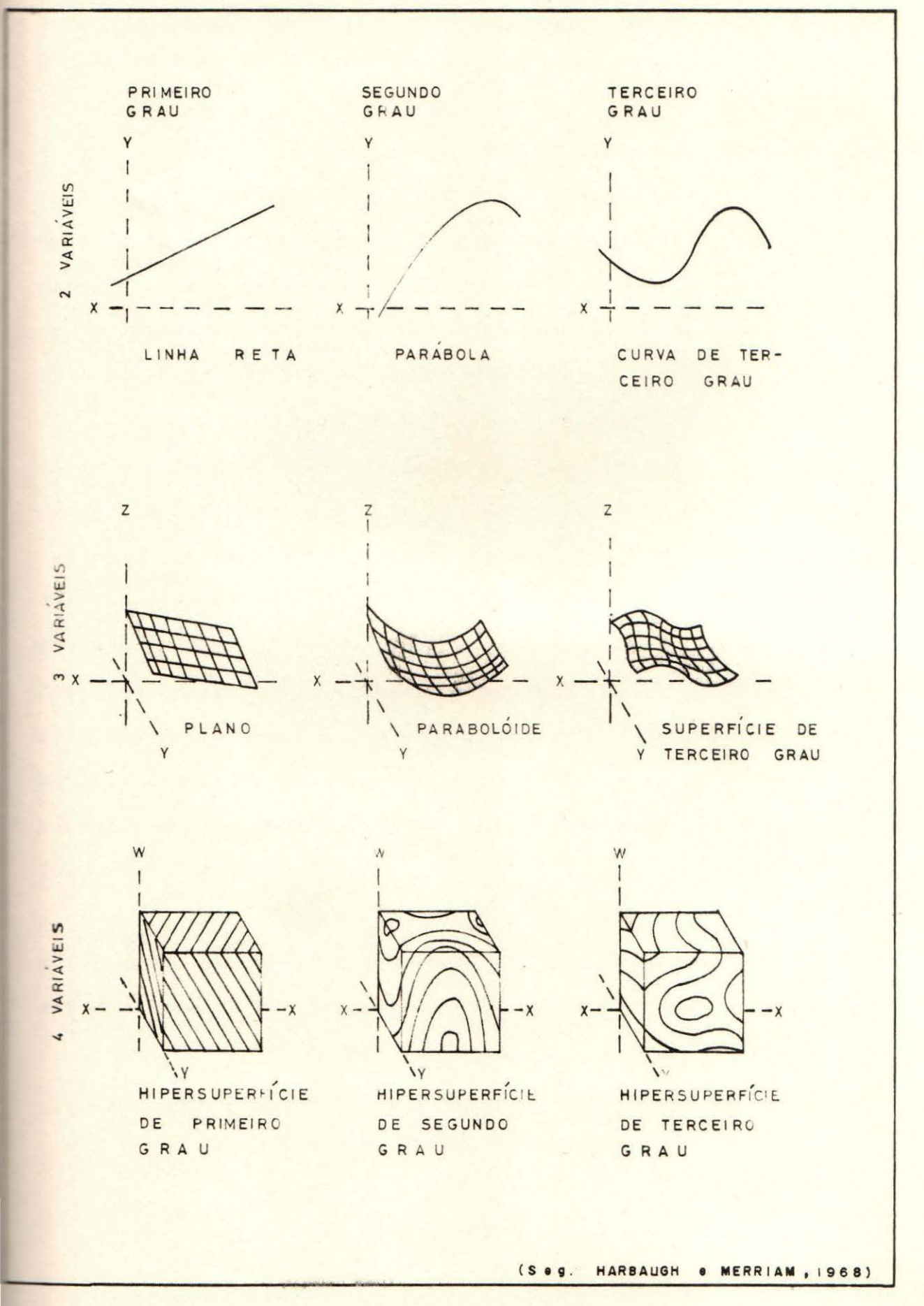


FIG. 16

nômios requer que os dados sejam dispostos em celas pertencentes a uma grade.

Quando isto não ocorre devem ser usados polinômios não ortogonais. Cosenos diretores são utilizados para cada cela da grade no cálculo do vetor azimute médio, ângulo de mergulho médio, comprimento do vetor resultante e o raio esférico do circulo de confiança do vetor resultante calculado para 5% e 1% de probabilidade, denominado theta.

Superficies lineares, quadráticas, cúbicas, quár ticas e quinticas, através polinômios ortogonais, são computadas e plotadas como mapas de tendência vetorial e de isoazimutes para auxiliar na interpretação dos dados. Mapas de residuos das superficies também são úteis na visualização das anomalias das superficies plotadas. No presente estudo não foram utilizados dados referentes a mergulho, uma vez que as fraturas foram tratadas como linhas e não como planos. Esse método difere basicamente dos métodos anteriores, no que concerne ao cálculo dos azimutes médios por considerar todas as fraturas como tendo módulos unitários.

O mapa dos azimutes médios obtido pela análise de tendência vetorial está representado na fig. 17. Como pode ser observado, três diferenças principais se fazem notar :

a) A área analisada pelo método é ligeiramente menor que as anteriormente estudadas devido a uma limitação técnica do programa da análise de tendência que não permite uma matrizo com mais de oito linhas ou colunas.

## MAPA DOS AZIMUTES MÉDIOS MÉTODO DA ANÁLISE DE TENDÊNCIA

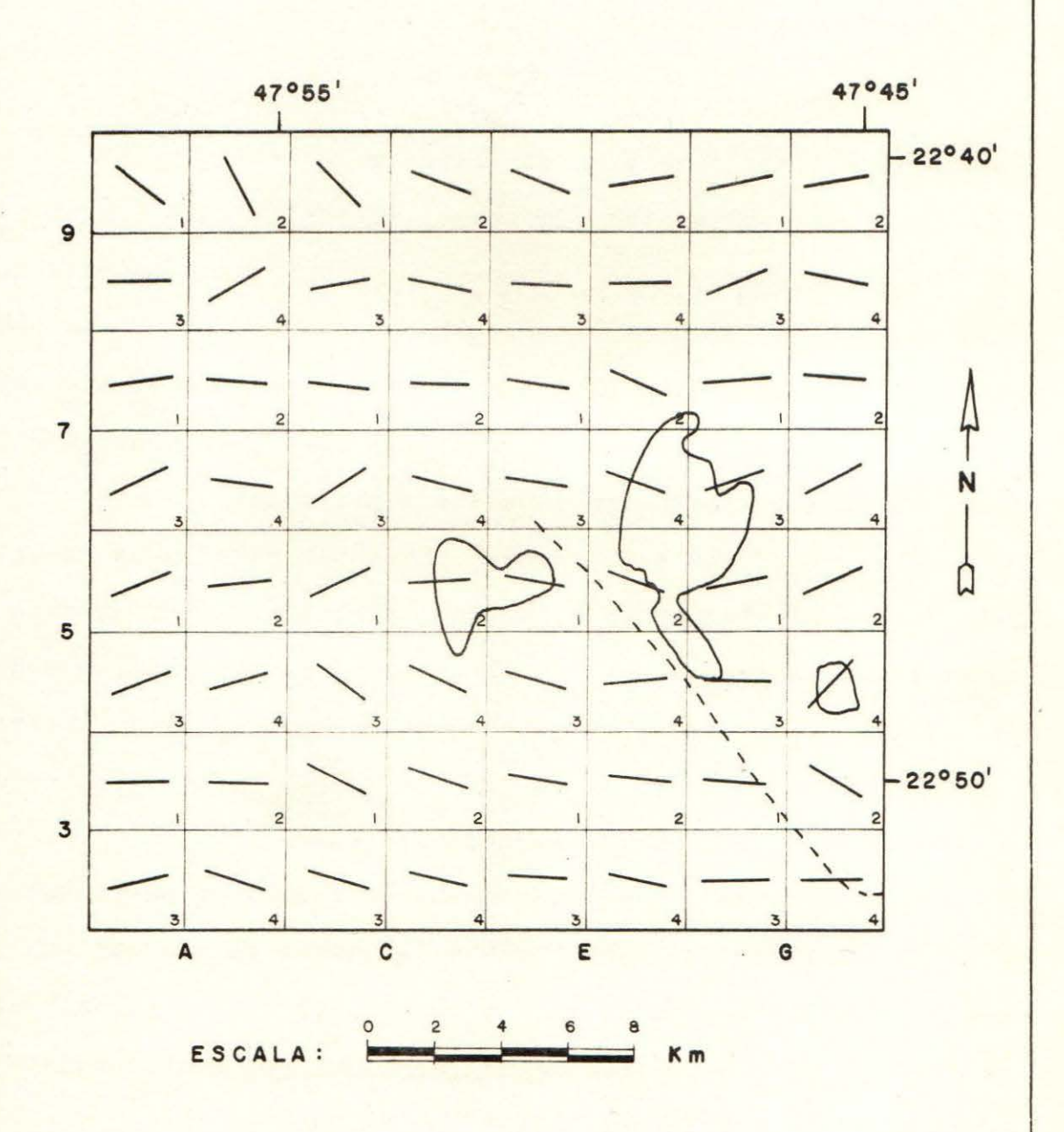


FIG. 17

- b) As celas da grade também não correspondem as mesmas celas dos métodos anteriores. Há uma limitação para que não mais de 50 fraturas sejam analisadas por cela.
- c) Finalmente, não houve sobreposição das celas, sendo que as mesmas são consideradas de uma forma individual.

Esse mapa apresenta um padrão geral de fraturamento de direção ESTE-OESTE, sendo que nas regiões Norte e Sul
a perturbação provocada pela elevação da estrutura provocou um
desvio das fraturas para uma direção anômala NOROESTE, enquanto que nos setores este e oeste o padrão existente, também anor
mal, é segundo a direção NORDESTE.

Próximo aos extremos noroeste e oeste do mapa verificam-se valores médios de azimutes que não se enquadram nos padrões acima referidos. A causa desta anormalidade, em nossa opinião, se deve basicamente ao pequeno número de fraturas existentes naquelas celas, que poderiam eventualmente falsear os resultados gerais.

Os dados direcionais de fraturas processados pelo programa de análise de tendência vetorial forneceram resultados, que constam de mapas de tendência de 19 ao 59 grau, além de tendências combinadas, sendo que para cada superfície são fornecidos três mapas:

- a) Mapa de valores da superficie de tendência analisada.
- b) Mapa dos vetores da superficie de tendência analisada.

c) Mapa dos residuos da superficie de tendência analisada.

Além desses mapas são apresentados três mapas referentes aos azimutes médios, que são: mapa de tendência dos azimutes direcionais médios em cada cela por linhas e colunas, mapa dos vetores dos azimutes direcionais médios em cada cela por linhas e colunas e mapa residual dos azimutes direcionais médios de cada cela menos o azimute médio total. Todos os resultados listados pelo programa estão representados nas figuras 18 a 23.

Da análise desses resultados, impõe-se a necessidade de verificar-se qual dos mapas de superfície de tendência
apresenta valores adequados de acordo com o princípio dos minimos quadrados. Para isto é necessário que observemos os valores
da percentagem de redução da soma total dos quadrados dos mapas
de residuos das superfícies de tendência. O mapa que tiver a
maior percentagem de redução será aquele cuja superfície melhor
se adapta aos dados apresentados e portanto é o mais adequado.

Em nosso trabalho, foi o mapa de superficie de tendência quadrática (fig. 20 a) que apresentou o maior valor de percentagem de redução na soma dos quadrados, valor este igual 28,606.

Verifica-se nesse mapa que as isolinhas formam parábolas em torno de um centro com valores aproximadamente E-W, aumentando de valor tanto para Norte como para Sul e diminuindo de valor para Este e Oeste, o que vem corroborar o observado no mapa da fig. 17, isto é, indicando fraturamento NW na parte Nor-

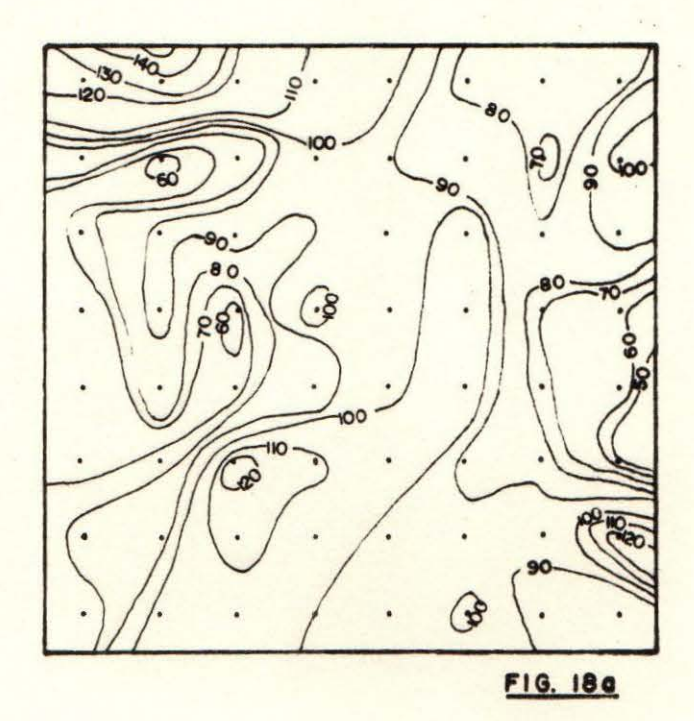
c) Mapa dos residuos da superficie de tendência analisada.

Além desses mapas são apresentados três mapas referentes aos azimutes médios, que são: mapa de tendência dos azimutes direcionais médios em cada cela por linhas e colunas, mapa dos vetores dos azimutes direcionais médios em cada cela por linhas e colunas e mapa residual dos azimutes direcionais médios de cada cela menos o azimute médio total. Todos os resultados listados pelo programa estão representados nas figuras 18 a 23.

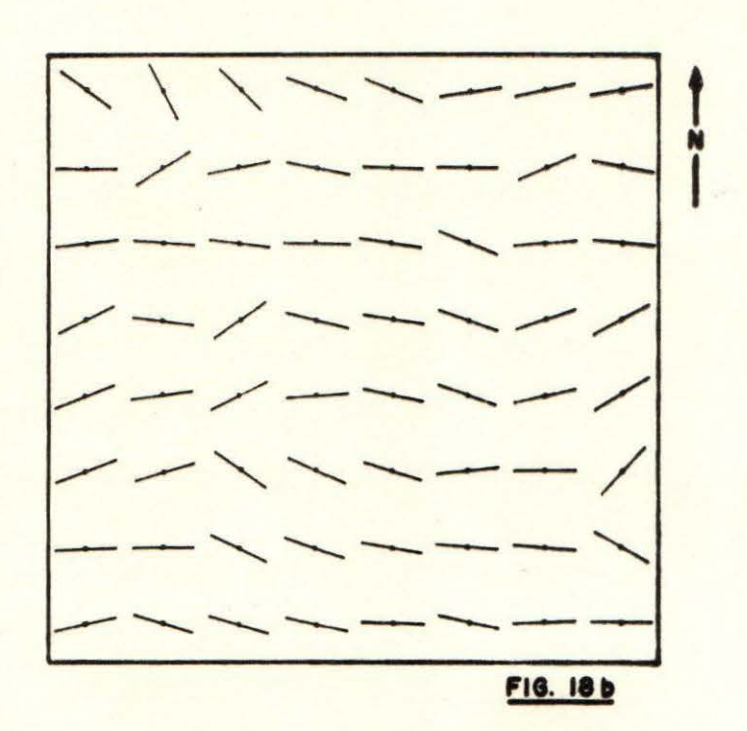
Da análise desses resultados, impõe-se a necessidade de verificar-se qual dos mapas de superfície de tendência
apresenta valores adequados de acordo com o princípio dos minimos quadrados. Para isto é necessário que observemos os valores
da percentagem de redução da soma total dos quadrados dos mapas
de residuos das superfícies de tendência. O mapa que tiver a
maior percentagem de redução será aquele cuja superfície melhor
se adapta aos dados apresentados e portanto é o mais adequado.

Em nosso trabalho, foi o mapa de superficie de tendência quadrática (fig. 20 a) que apresentou o maior valor de percentagem de redução na soma dos quadrados, valor este igual a 28,606.

Verifica-se nesse mapa que as isolinhas formam parábolas em torno de um centro com valores aproximadamente E-W, aumentando de valor tanto para Norte como para Sul e diminuindo de valor para Este e Oeste, o que vem corroborar o observado no mapa da fig. 17, isto é, indicando fraturamento NW na parte Nor-



Mapa de tendência dos azimutes direcionais mê dios em cada cela por linhas e colunas.



Mapa dos vetores dos azimutes direcionais mádios em cada cela por linhas e colunas.

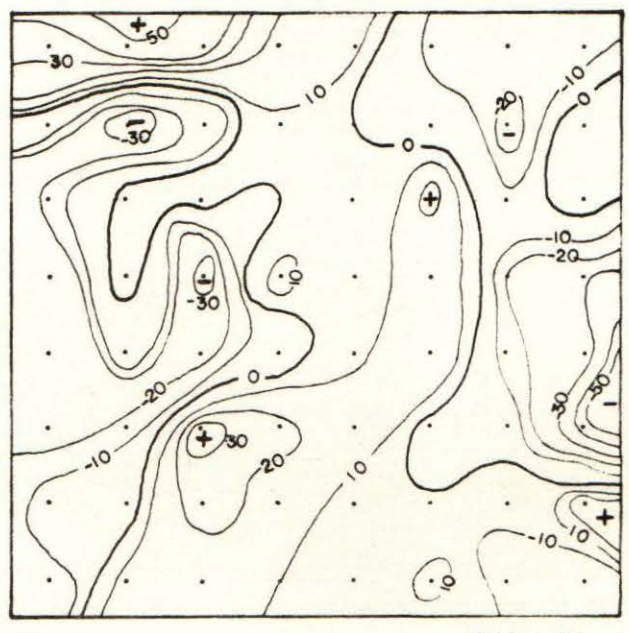


FIG. 18 c

Mapa residual des azimutes direcionais médies de cada cela menos e azimute médie total.

Soma total des quadrades = 25.139.

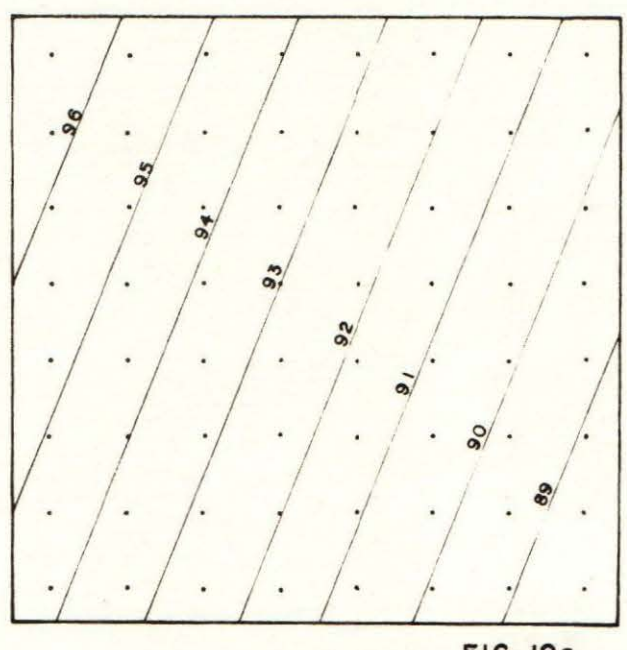


FIG. 19a

Mapa de tendência linear dos asimutes direcionais.

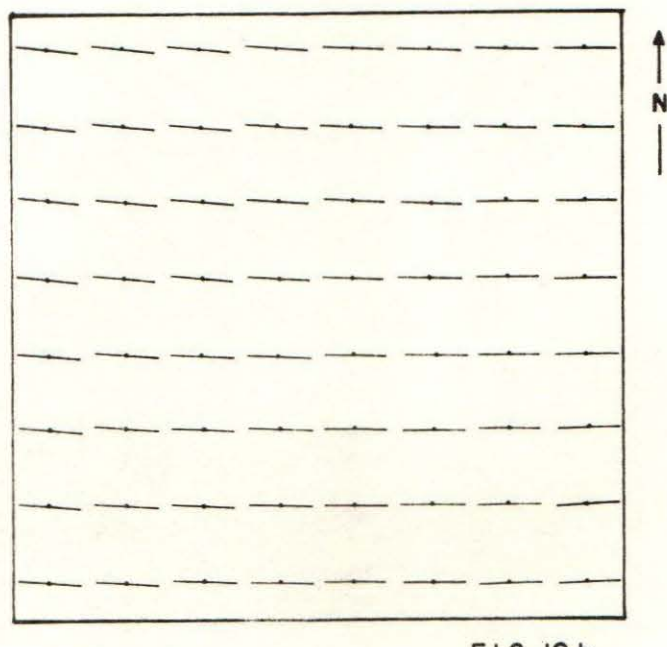


FIG. 19 b

Mapa dos vetores dos azimutes direcionais Superficie de tendência linear.

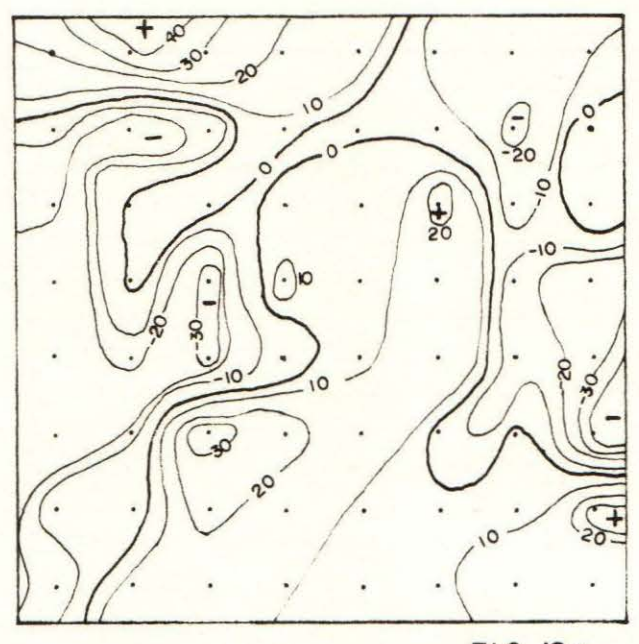
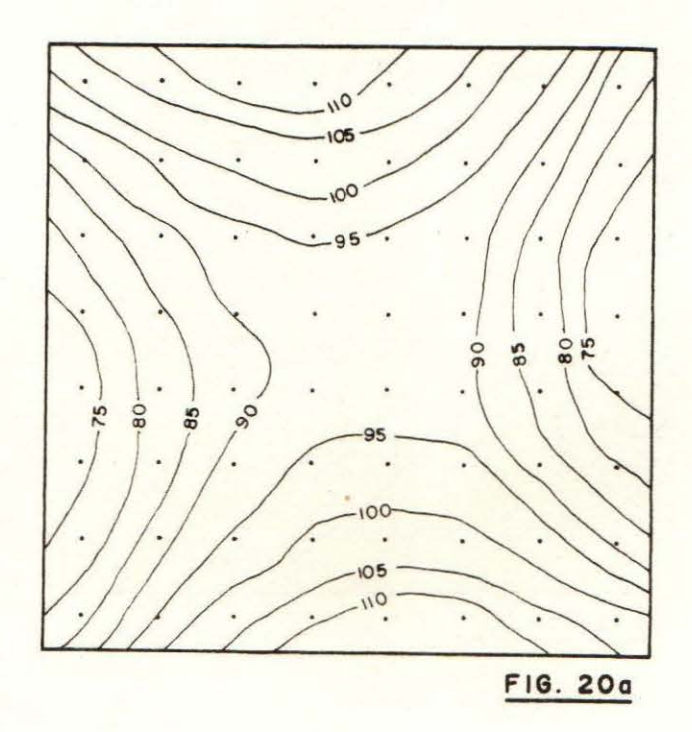


FIG. 19 c

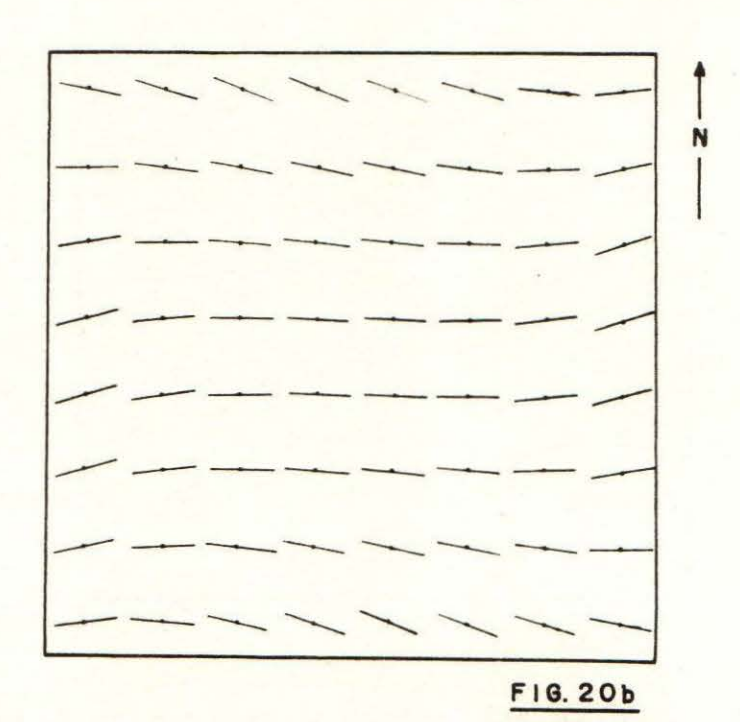
Mapa residual des azimutes direcionais Superficie de tendência linear.

Soma dos quadrados do mapa = 24.842.

Porcentagem de redução na soma total dos quadrados = 1,183.



Mapa de tendência quadrática dos asimutes direcionais.



Mapa dos vetores dos azimutes direcionais Superficie de tendência quadrática.

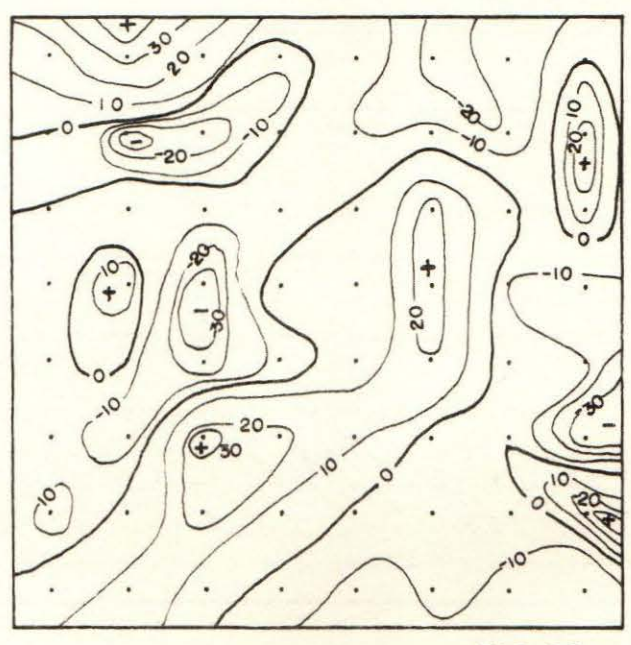


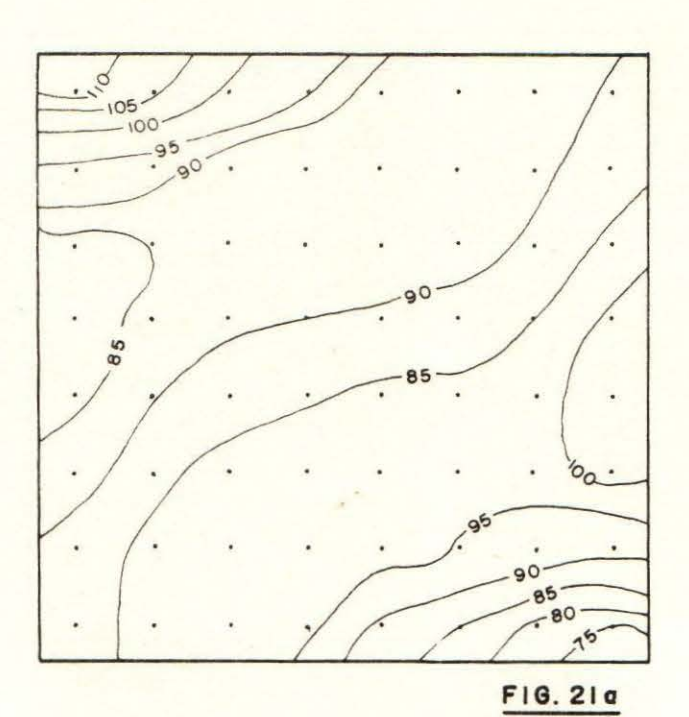
FIG.20c

Mapa residual dos azimutes direcionais

Superficie de tendência quadrática.

Soma dos quadrados do mapa = 17.948

Porcentagem de redução na soma total dos quadrados = 28,606.



Mapa de tendência cúbica dos asimutes direcionais.

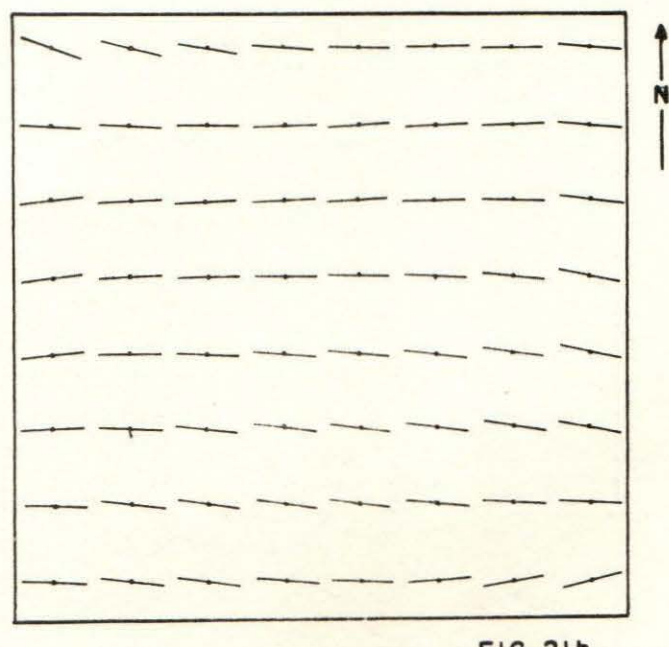


FIG. 216

Mapa dos vetores dos asimutes direcionais Superfície de tendência cúbica.

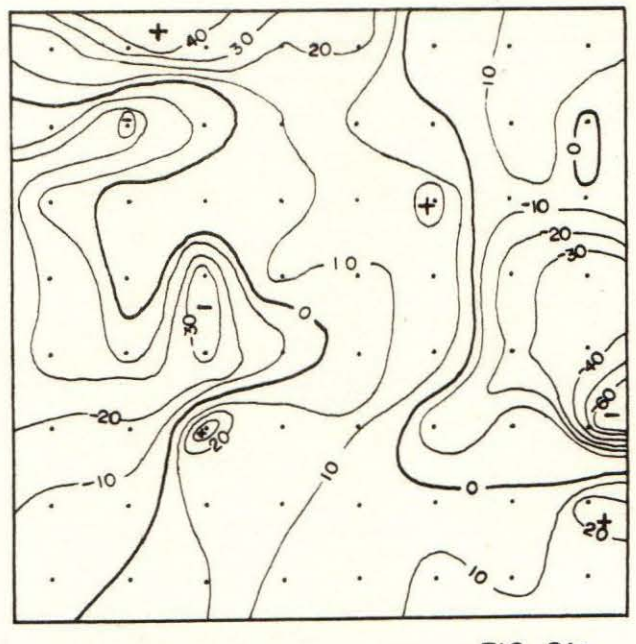
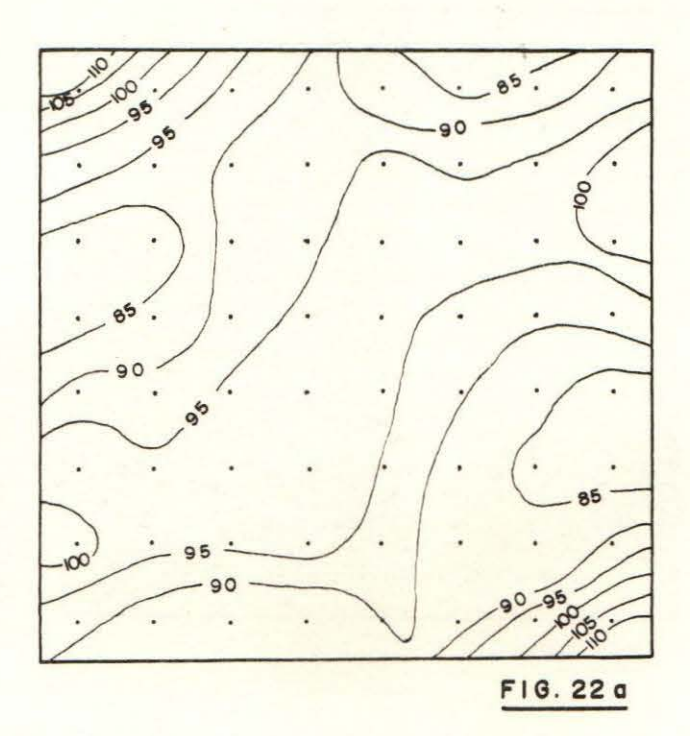


FIG. 21c

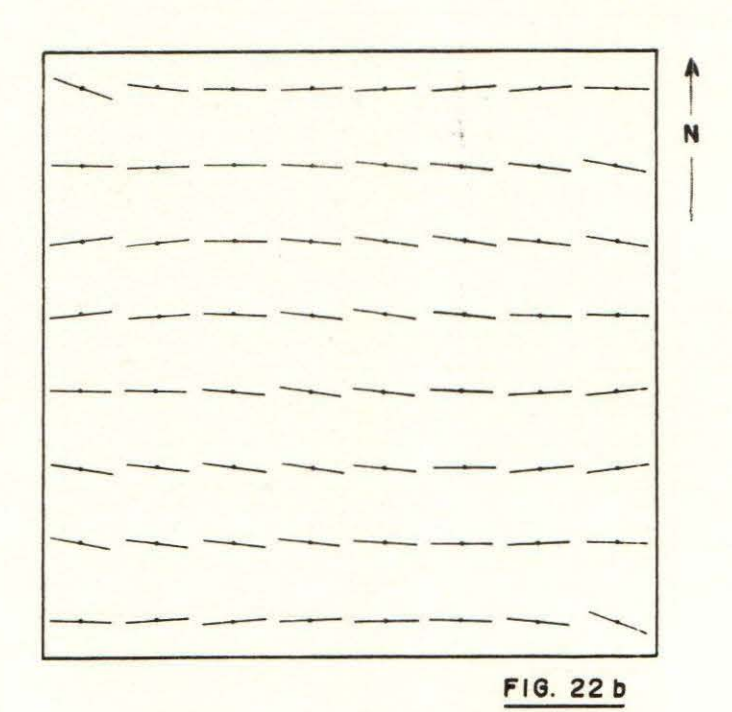
Mapa residual dos azimutes direcionais Superficie de tendência cúbica.

Soma dos quadrados do mapa = 22.875

Porcentagem de redução na soma total dos quadrados = 9,004.

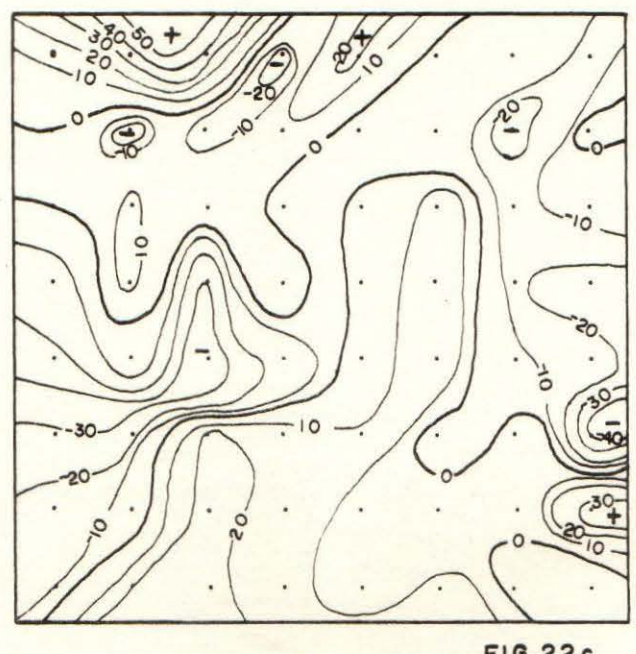


Mapa de tendência quártica dos azimutes direcionais.



Mapa dos vetores dos azimutes direcionais Superficie de tendência quártica.

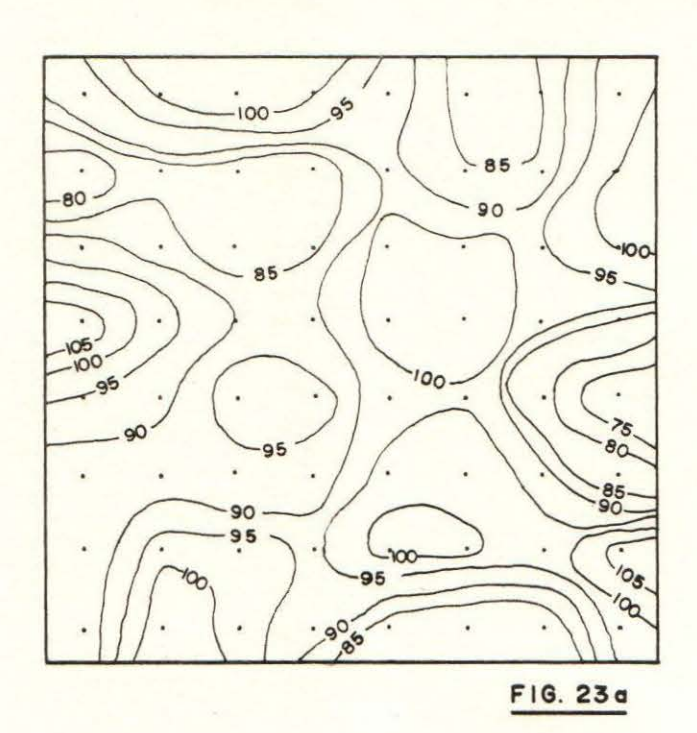
UNICAMP Faculdade de Engenharia de Limeiro BIBLIOTECA



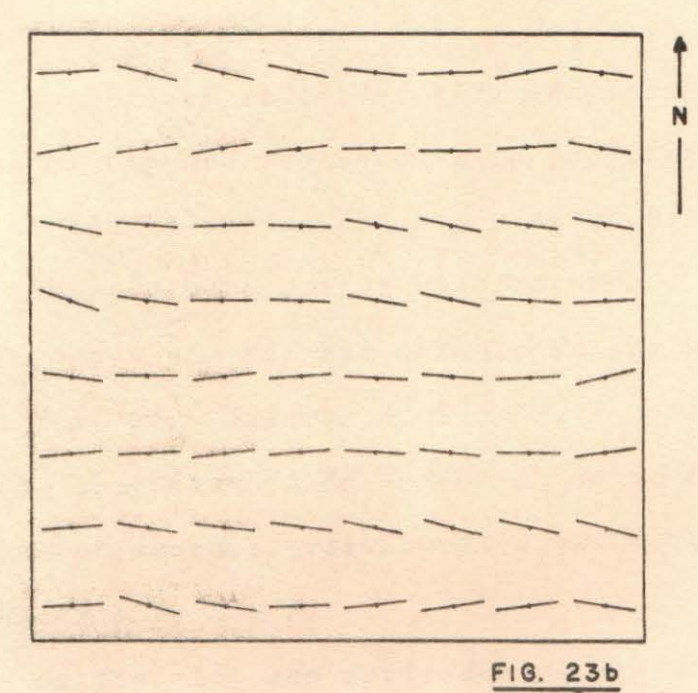
F16.22c

Mapa residual dos azimutes direcionais Superficie de tendência quártica. Soma dos quadrados do mapa = 22.877

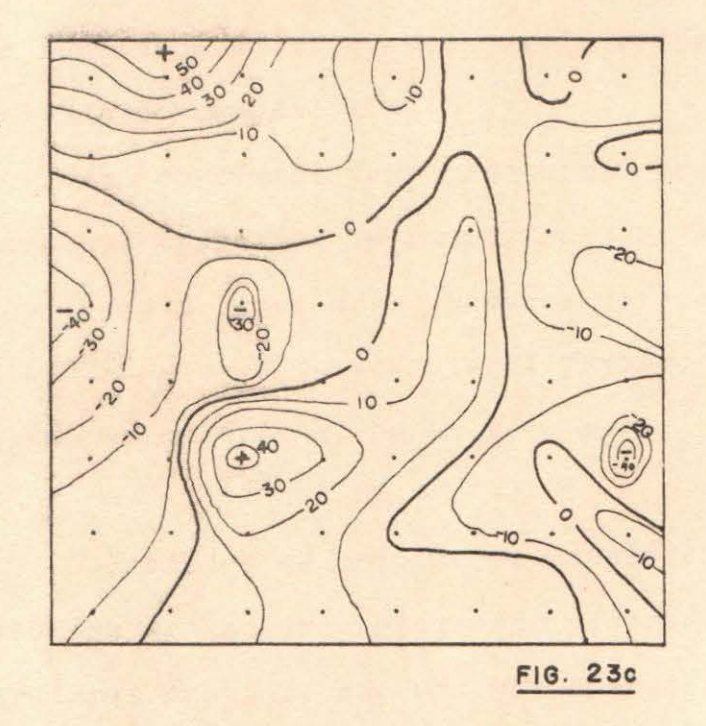
Porcentagem de redução na soma total dos quadrados = 8,997.



Mapa de tendência quintica dos azimutes di recionais.



Mapa des vetores des azimutes direcionais Superficie de tendência quintica.



Mapa residual dos azimutes direcionais Superficie de tendência quintica.

Soma dos quadrados do mapa = 21.090

Porcentagem de redução na soma total dos quadrados = 16,107.

te e Sul e fraturamento NE na parte Este e Oeste do mapa.

Mento de fraturas de regiões tectônicamente positivas e negativas, chegaram a conclusão que em áreas positivas há uma tendência de se formar sobre o alto estrutural fraturas convergentes que causam modificações nos padrões normais de fraturamento como se observa na fig. 24. (Quadros A, B e C). Em áreas perturbadas negativamente, há tendência de se formar sobre o baixo estrutural fraturas tangenciais, resultando o que é mostrado na mesma figura, (Quadros D, E e F).

Na fig. 25, são mostrados os mapas de azimutes médios, tendência de 29 grau e tendência de 39 grau para estruturas simuladas positivas e negativas.

Da comparação dos resultados obtidos nos mapas de superfície de tendência quadrática (fig. 20 a, b e c) com os resultados de Northfleet, concluiu-se que a área da Estrutura do Pau D'Alho é na realidade um alto estrutural, evidenciado pelos sistemas de fraturas convergentes.

Essa conclusão veio corroborar aquilo que haviamos verificado nos trabalhos de campo, quando foram realiza dos os perfis geológicos. Além disso, podemos afirmar que a Estrutura do Pau D'Alho é um alto estrutural formado por falhas escalonadas, e não um anticlinal ou um domo como anteriormente suspeitado.

Os estudos de análise de tendência aplicados à áreas cuja tectônica não é bem esclarecida poderão revelar muito claramente estruturas ocultas, que uma vez conhecidas em muito auxiliarão os geólogos tanto no setor acadêmico da Geologia como

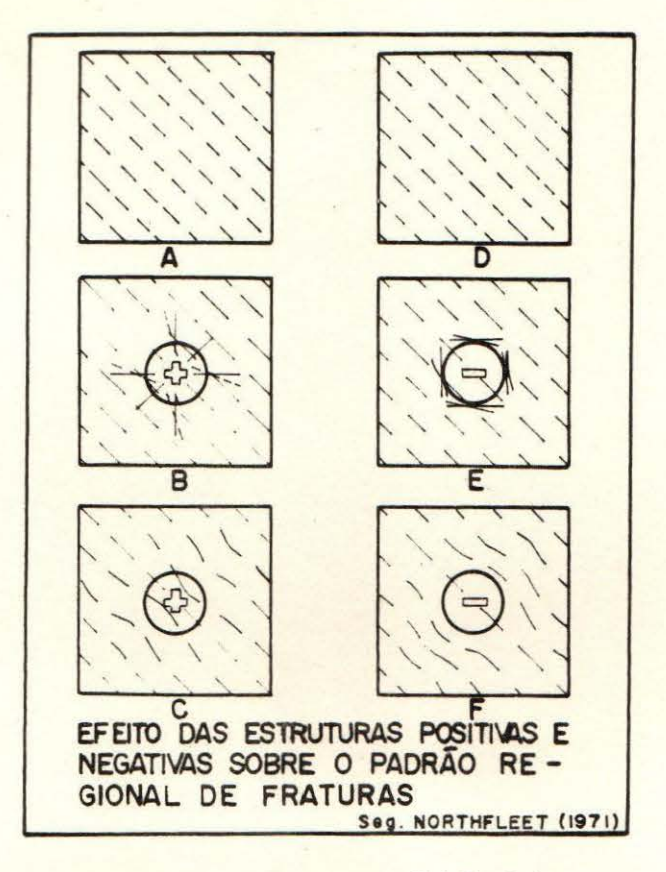


FIG. 24

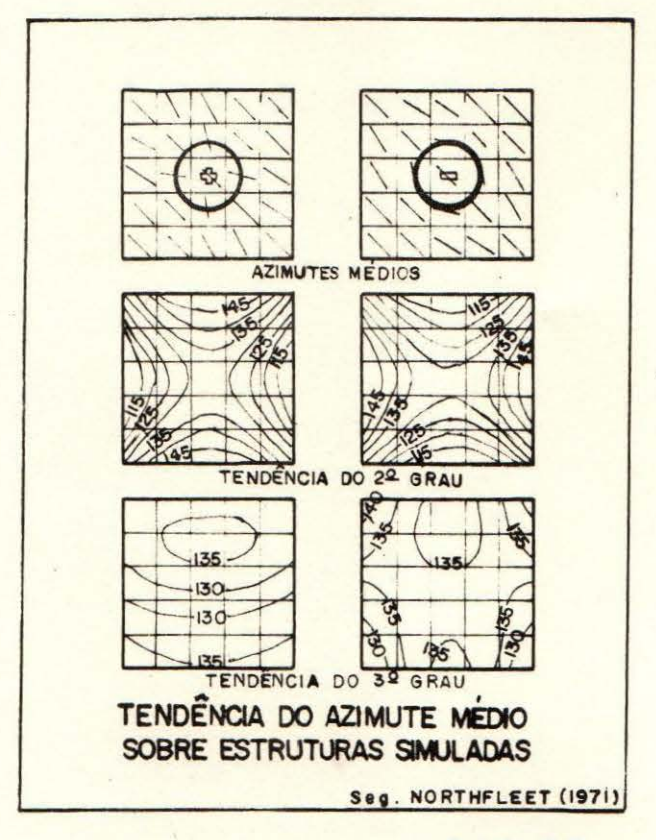


FIG. 25

naquele aplicado à Engenharia.

Como parte final de nossa pesquisa, resolvemos testar todos os métodos anteriores em função da Análise de Tendência. Para isto, utilizamo-nos dos dados direcionais dos mapas de azimutes médios de cada um dos métodos.

O programa utilizado, Análise de Superficies de Tendência foi processado no computador IBM-1130 da Unicamp, tendo revelado que dos três processos inicialmente usados, o método das resultantes parciais foi o único a mostrar-se com as mes mas características do método da Análise de Tendência Vetorial. Chegamos a esta conclusão pela análise de todos os mapas de superfície de tendência. O mapa de superfície de tendência quadrática do método das resultantes parciais é idêntico ao apresenta do pela Análise de Tendência Vetorial na fig. 20 a. Isto mostra que o método das resultantes parciais provavelmente é um proces so mais útil na análise de dados direcionais que os métodos da resultante única e da duplicação dos asimutes.

## 6. GÊNESE DA ESTRUTURA

Em capitulos anteriores referimo-nos a autores que estudando a Estrutura do Pau D'Alho consideraram-na como tendo uma origem proveniente de perturbações tectônicas por dobramento. Estes dobramentos teriam então formado anticlinais ou domos.

Embora existam domos na região, como os de Anhembi e Artemis, este descoberto por Soares (1973), concluimos que o Pau D'Alho é na realidade uma estrutura falhada, constituindo um alto estrutural. Estas falhas são normais, de movimentos verticais e rotacionais, em que os blocos foram adernados (foto 10). Os rejeitos destas falhas normalmente não são grandes, atime gindo, como pode ser observado nos perfis geológicos, apenas algumas dezenas de metros.

Estes falhamentos são muitas vezes escalonados fazendo com que os blocos centrais da estrutura, constituidos da Formação Estrada Nova, tenham sido alçados ao nível da Formação Pirambóia. Não foram verificados na área falhas transcorrentes, consideradas como comuns no Estado de São Paulo por Bjornberg (1965 e 1969).

A maioria das estruturas dômicas da região são consideradas por Soares (1973) como tendo se originado por acomodação de camadas superiores em relação a estruturas do tipo "horst", situadas em profundidade. Julgamos que essas estruturas possam ter se formado também por intrusões básicas de profundidade de que não atingiram a superfície devido a competência das rochas sobrejacentes, o que impossibilitou a formação de falhas e



Foto 10 - Vista leste das estruturas da área do Pau D'Alho, vendo-se a esquerda e em primeiro plano o Morro do Capitão e a direita, em segundo plano, o Monte Branco.

Note-se o basculamento dos dois blocos em sentido inverso. Os blocos não são
alinhados, sendo apenas paralelos.

de diques e sills.

No caso particular da Estrutura do Pau D'Alho a atividade magmática está associada aos falhamentos por meio de diques e sills, sendo contemporâneos e de idade mesozóica.

De acordo com os perfis geológicos executados na área e que atravessam a estrutura transversalmente aos falhamentos ficou evidenciado que mesmo que exista uma intrusão em profundidade, a causa principal da formação do alto estrutural e dos basculamentos dos blocos é o sistema de falhas de direção NW. Sabe-se que o poço perfurado no centro da estrutura (vide mapa geológico) depois de atravessar algumas dezenas de metros de rochas sedimentares penetrou 147 metros de diabásio, ocasião em que foi abandonado. Provavelmente foi ele perfurado exatamente ao longo de um dos possantes diques de diabásio aí existentes ou então atingiu a parte superior da intrusão básica.

Para a formação destes corpos magmáticos idealizou-se um sistema de injeção que inicialmente formaria os diques em profundidades maiores, os quais preencheriam as falhas e fraturas e mais próximo à superfície, devido a descompressão causa

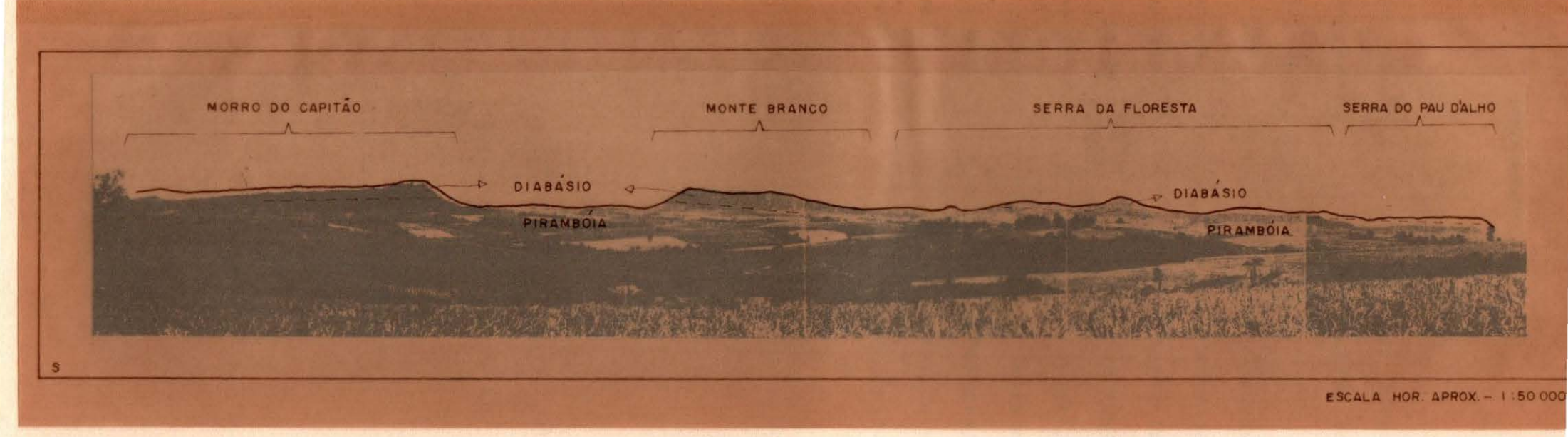


Foto 11 - Vista geral este da Estrutura do Pau D'Alho, salientando-se os basculamentos e o capeamento de diabásio sobre a Formação Pirambóia.

da pelo menor peso das camadas geológicas, haveria possibilidade da intrusão de corpos concordantes, inclusive com espessuras maiores do que no caso dos diques.

Com a erosão, houve uma inversão do relevo pois os blocos rebaixados, protegidos pelo capeamento de diabásio, permaneceram como altos topográficos e morros testemunhos (foto 11) enquanto que os blocos alçados, de constituição litológica mais frágil foram erodidos e rebaixados topográficamente.

Consideramos portanto a Estrutura do Pau D'Alho uma situação "sui generis" dentro da estratigrafia da Bacia Sedimentar do Paranã e esperamos que esse estudo possa contribuir para um melhor conhecimento sobre a geotectônica da Bacia.

## 7. CONSIDERAÇÕES FINAIS

Esse trabalho, de cunho eminentemente tect $\hat{o}$ nico, teve como um dos seus objetivos principais procurar elucidar a gênese e os mecanismos que possibilitaram a formação da Estrutura do Pau D'Alho.

Através estudos de fotointerpretação e dos perfis geológicos chegou-se as seguintes conclusões :

- a) A Estrutura do Pau D'Alho não é um domo ou anticlinal, mas um alto estrutural.
- b) A causa principal da estrutura é um sistema de falhas normais que gerou os deslocamentos e basculamentos dos blocos.
- c) Não existe na região da estrutura a Formação
  Botucatu (eólica) nem o basalto da Formação
  Serra Geral, ocorrentes somente no extremo
  noroeste da área mapeada.
- d) Aos falhamentos que possuem direção geral N40W, estão associados diques e sills de dia básio formados contemporaneamente. A idade dessas intrusões e dos falhamentos é mesozóica.
- e) Houve uma inversão de relevo causada pelo ca peamento de diabásio que protege os blocos rebaixados da erosão dominante na área.
- f) No interior da estrutura, a Formação Estrada

  Nova, que constitui a parte superior do blo

  co alçado, foi metamorfisada pelo diabásio,

sendo silicificada.

g) Pelas suas características, a Estrutura do Pau D'Alho não tem similaridade com outras estruturas da região, as quais são predominantemente de caráter dômico.

Na segunda parte de nosso trabalho, cujo objetivo foi testar a aplicação de métodos estatisticos no estudo de fraturas de relevo e drenagem obtidas a partir de fotointerpretação, com a finalidade de descobrir, sem estudos de campo, estruturas de caráter positivo ou negativo, chegamos as seguintes conclusões:

- a) Partindo-se do conhecimento do caráter positivo da Estrutura do Pau D'Alho e utilizando fraturas obtidas em fotografias aéreas, o emprego de vários métodos de análise levou-nos a conclusão de que o método da Análise de Tendência Vetorial é o mais adequado para o tratamento de dados direcionais.
- b) O método da Análise de Tendência Vetorial apresenta muitas vantagens sobre os procedimentos geológicos normais, entre eles a economia de tempo e a possibilidade de se efetuar trabalhos em regiões de difícil acesso
  ou de afloramentos escassos.
- c) Embora tratando-se ainda de resultados que precisam de maiores confirmações, principal-mente em áreas de baixos estruturais, ainda

não testadas, somos de opinião que essa metodologia é um passo importante dentro do campo da Geologia Aplicada à Engenharia, campo onde militamos, pelas implicações que existem normalmente entre grandes obras de Engenharia e o substrato rochoso.

## 8. BIBLIOGRAFIA

- Almeida, F.F.M. e Barbosa, O. (1949) A Série Tubarão na Bacia do Rio Tietê, Estado de São Paulo.D.N.P.M. Div. de Geol. e Miner. - Notas Preliminares nº 48.
- Almeida, F.F.M. e Barbosa, O. (1953) Geologia das Quadriculas de Piracicaba e Rio Claro, Estado de São Paulo.

  Bol. nº 143 da D.G.M. Departamento Nacional da Produção Mineral. Rio de Janeiro.
- Almeida, F.F.M. et Alli (1964) Geologia do Estado de São Paulo Bol. nº 41 do Instituto Geográfico e Geológi co São Paulo.
- Andrade, S.M. e Soares, P.C. (1971) Mapa Geológico da Região

  Centro-Leste de São Paulo Relatório DESUL nº

  407. Ponta Grossa, PR.
- Barbosa, O. e Gomes, F.A. (1958) Pesquisa de Petróleo na Bacia do Rio Corumbatai, Estado de São Paulo.D.N.P.M. D.G.M., Bol. nº 171.
- Bjornberg, Alfredo J.S. (1965) Sedimentos Pós-Cretácicos do

  Leste do Estado de São Paulo Tese para Concur

  so de Livre Docência São Carlos.
- Bjornberg, Alfredo J.S. (1969) Contribuição ao Estudo do Ceno-zóico Paulista : Tectônica e Sedimentologia- Te se apresentada para provimento do cargo de Professor Titular São Carlos.
- Bósio, Nivaldo (1973) Geologia da Região de São Pedro. Tese de Doutoramento. (Inédito). Rio Claro.

- Curray, J.R. (1955) The Analysis of Two-dimensional Orientation Data, Journal of Geology, 64 pp.117 - 131, Illinois.
- Curray, J.R. (1956) Dimensional Grain Orientation Studies of

  Recent Coastal Sands: American Assoc.Petroleum

  Geologists Bull., vol. 40 no 10, pp. 2440-2456.
- Deffontaines, P. (1935) Regiões e Paisagens do Estado de São

  Paulo. Primeiro Esboço de Divisão Regional. Geo

  grafia, vol. 1, fasciculo 2 pp. 117-169. São

  Paulo.
- Felicissimo, Jesuino (1952) Histórico das Pesquisas de Petróleo no Estado de São Paulo. Bol. 3 e 4, vol. X da revista IGG, pp. 262-278. São Paulo.
- Fox, William T. (1967) Fortran IV Program for Vector Trend

  Analyses of Directional Data. Computer Contribution 11, State Geological Survey, The University of Kansas, Lawrence.
- Fulfaro, Vicente José (1967) Contribuição à Geologia da Região de Angatuba. Bol. nº 253 da D.G.M. Departamento Nacional da Produção Mineral. Rio de Janeiro.
- Harbaugh, J.W. e Merrian, D.F. (1968) Computer Applications in Stratigraphic Analysis John Wiley & Sons, Inc. New York.
- Jones, T.A. (1967) Estimation and Testing Procedures for Cirqual lar Normally Distributed Data: Office Naval Research, Geography Branch, Tech. Rept. no 3, ONR Task no 388-078, 61 pp.

- Krumbein, W.C. (1939) Preferred Orientation of Pebbles in Sedimentary Deposits. Bol. no 7, Vol. XLVII Journal of Geology.
- Landim, P.M.B. (1970) O Grupo Passa Dois (P) na Bacia do rio

  Corumbatai (SP) Bol. nº 252 da D.G.M.Departamen

  to Nacional da Produção Mineral. Rio de Janeiro.
- Krumbein, W.C. e Graybill, F.A. (1965) An Introduction to Statistical Models in Geology Mc Graw Hill.
- Mezzalira, S. (1965) Descrição Geológica e Geográfica das Fôlhas de Piracicaba e São Carlos, São Paulo. Bol. 43 do IGG S.P.
- Moraes Rego, L.F. (1945) Nota sobre a Localização de uma Sond<u>a</u>

  gem no Estado de São Paulo. Bol nº 1 da revista

  "Geologia e Metalurgia" da USP São Paulo.
- Northfleet, A.A. et alli (1971) Aplicação de Geomatemática à Prospecção de Petróleo Análise de Fraturas por Polinômios Ortogonais. Boletim dos Anais do XXV Congresso Brasileiro de Geologia, Vol. 3. São Paulo.
- Paula, Icléa da Rocha (1972) Geomorfologia da Região do Pau D'

  Alho no Interflúvio dos Rios Piracicaba e Tie
  tê. Relatório de pesquisa para a Fapesp Facul

  dade de Filosofia, Ciências e Letras de Rio Cla

  ro, São Paulo.
- Pincus, H.J. (1956) Some Vector and Arithmetic Operations on

  Two Dimensional Orientation Variates, With A
  pplications to Geological Data. Bol. nº 6, Vol.

  64 Journal of Geology.

- Soares, P.C. (1973) O Mesozóico Gonduânico no Estado de São

  Paulo Tese de Doutoramento (Inédito). Rio

  Claro.
- Steinmetz, R. (1962) Analysis of Vectorial Data. Journal of Sedimentary Petrology, vol. 32, pp. 801 812.
- Washburne, C.W. (1930) Petroleum Geology of the State of São
  Paulo. Com. Geol. Geogr., Bol. nº 22, 272 pp.
  São Paulo.

Unidade FEL
Proc
DOAÇÃO
Preço Estimativo:
9 23,10
Dat 21 18 187

T		
1	T	BAE 8746
1	C2	790 0116 8 796
1	AU'	TOR: CASTRO, PAULO ROBERTO
1		TIR A
1	TIT	T
1	do	C279c BAE 8746-
		AUTOR: CASTRO, PAULO ROBERIO
		TITULO:Coptribuição eo estu-
		do da estrutura do Pau
		N9 Devolução Assinatura
1		
		TESE 3AE 8746
		TESE 3AE 8776
	U	HIVERSIDADE ESTADUAL DE CAMPINAS
		SISTEMA DE BIBLIOTECAS
		SISTEMA DE BIBLIOTECAS

C279c BAE 8746

AUTOR: CASTRO, PAULO ROBERTO MODRA.
Titulo: Contribuição ao estudo da estrutura do PaulPa-Nº Saída Devol. Rúbrica

C279c BAE 8746 -  AUTOR: CASTRO, PAUL O ROBERTO  TITULO: Contribuição en estudo da estrutura do Pau					
No	Devolução	Assinatura			
-					
		No. 1 1			
		40.00			
The state of the s					
	•				
		-			

42	Saida	Devol.	Rúbrico
-			
	1	-	-
	1		-
			1
-			
	+	1	1
		+	1
			+
	+		
	-	+	+
		-	-
			-
	-		
	-	-	
			-
			-
	-		
4	-	-	_
			-

-	-	Tall the Colonial Colonia Colo
N 9	Devolução	Assinatura
		7
	1	
		1
		-
	-	-
		-
-		
		-
	-	
-		
		,
10		
The second		

C2790 BAE 8746 AUTOR: CASTRO, PAULO ROBERTO MODRA.

Titulo: Contribuição ao estudo da estrutura do Paulha-Nº Saida Devol. Rúbrica

NS	Saida	Devol.	Rúbrico
The second second second second		THE REAL PROPERTY AND ADDRESS OF THE PERTY	
	-	-	
			-
		1	
	1		
	1	-	
	+	-	-
	1		
		1	
		1	
	+	-	
		1	
	-	-	
	+	-	

TÍTULO:Contribuição no estudo da estrutura do Pau ... Devolução Assinatura No

C279c BAE 8746

AUTOR: CASTRO, PAULO ROBERTO MODRA.
Titulo: Contribuição ao estudo da estrutura do PaulPa-Nº Saída Devol. Rúbrica

C279c BAE 8746 -  AUTOR: CASTRO, PAUL O ROBERTO  TITULO: Contribuição en estudo da estrutura do Pau					
No	Devolução	Assinatura			
-					
		No. 1 1			
		40.00			
The state of the s					
	•				
		-			

DiutoniseA	Devolução	ōN
1		
	11.9	
and the same		
		Design The Party of the Party o
STATE AND ADDRESS.		
	-	-

1				
				* a
İ				
				7.8
			1	
			1 12	
				1 1 1 1 1 1 1 1 1 1 1 1 1 1 1 1 1 1 1 1
	Rúbrica	Devol.	obios	δN
		The second secon	Name of Concession, Name of Street, or other Persons, Name of Street, or o	taa ab ob
	-uisa c	e osg.	tribui	MODRA. Titulo: Con Tas sb ob
	0183808	סאחדם	TRO, F	PAS : ROTUA
	9ht8	2 24	C	064ZJ
	1116	5 210	0	1

Rúbrica Devol ppips δN

6

Devolução Assinotura No do da estrutura do Pau ... AUTOR: CASTRO DATE 8 TYC. ANTOROGERID Assinotura Devolução āN

